

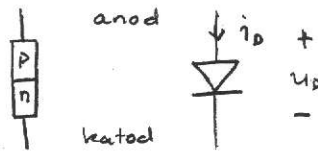
# Elektriska nät och system

föreläsningar + övningar

35: -

Diod :  eller 

struktur :



Dopad halvledarkristall (Si).

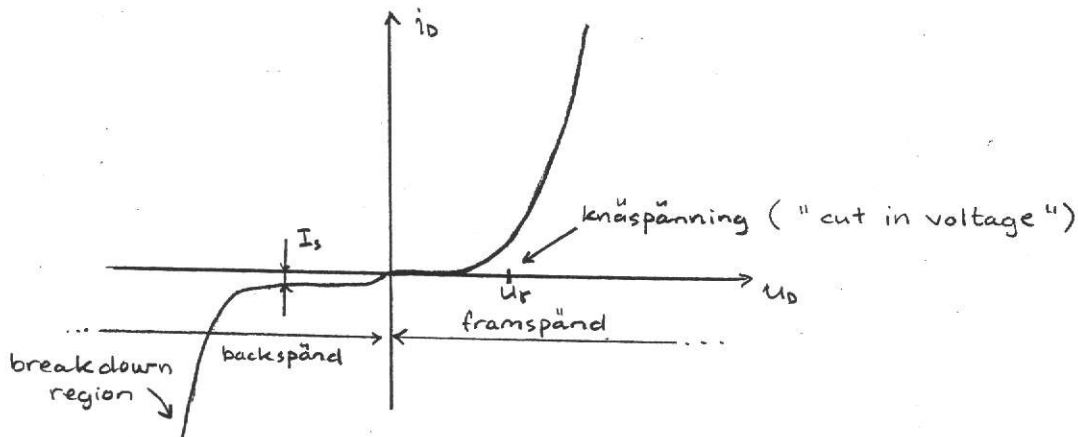
p: dopad med "acceptoratomer"  $\Rightarrow$  ger "fria hål"

n: " " "donatoratomer"  $\Rightarrow$  ger "fria elektroner"

Fria laddningsbärare ökar markant vid dopning.

[ Läs 3.3 i S&S för genomgång av halvledarfysik ]

karaktäristik :  $i_D = I_s (e^{\frac{u_D}{V_T}} - 1)$  [ A ]



$$V_T = \frac{kT}{q} \approx \frac{T}{11600}$$

k: Boltzmanns konstant  
q: elektrisk laddning  
T: temperatur [K]

Vid rumstemp. (20°) :  $T = 293 \text{ K} \Rightarrow V_T = 25 \text{ mV}$  (termisk spänning)

$I_s$ : Reverse saturation current (från teoretiska beräkningar)

$I_0$ : Verklig backström

$I_s$  och  $I_0$  beror på dopningsgrad och på övergångens yta, starkt temperaturberoende.

$u_r$ : Cut in voltage

material :

	$u_r$	$I_0$
Si	0,6-0,7 V	nA
Ge	0,2 V	$\mu$ A

$\eta \approx 1-2$  (beror på material och struktur)

temperatur beroende:

framspänd diod:  $\left. \frac{du_D}{dT} \right|_{i_D = \text{konst.}} = -2 \text{ mV/}^\circ\text{C}$

backspänd diod: verklig backström,  $I_0$ , dubblas för varje  $10^\circ\text{C}$  av temperaturen

dynamisk resistans ( $r_d$ ):

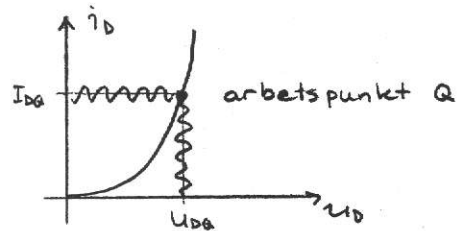
Framspänd diod. Antag  $i_D \gg I_0$ , vilket ger  $i_D \approx I_0 e^{\frac{u_D}{\eta V_T}}$ .

$$g_d = \left. \frac{di_D}{du_D} \right|_Q = \frac{d}{du_D} \left( I_0 e^{\frac{u_D}{\eta V_T}} \right) = \underbrace{I_0 e^{\frac{u_D}{\eta V_T}}}_{I_{DQ}} \cdot \frac{1}{\eta V_T} = \frac{I_{DQ}}{\eta V_T}$$

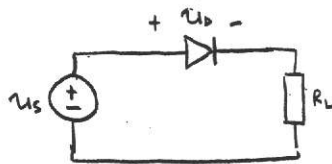
$$r_d = \frac{1}{g_d} = \frac{\eta V_T}{I_{DQ}}, \quad V_T = \frac{kT}{q} = \{T = 300 \text{ K}\} = \frac{300}{11600} = 26 \text{ mV}$$

$$\Rightarrow r_d = \frac{\eta \cdot 26 \text{ mV}}{I_{DQ}}$$

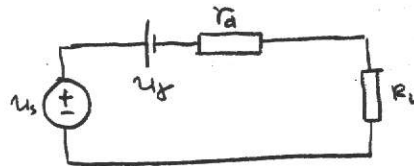
Ex:  $\left. \begin{matrix} \eta = 2 \\ I_0 = 1 \text{ mA} \end{matrix} \right\} \Rightarrow r_d = 52 \Omega$



Betrakta



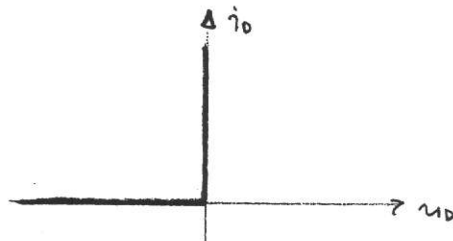
ekvivalent schema



Om diod alltid ledande och små variationer av  $u_D$  runt  $u_{DQ} > u_s$



ideal diod:

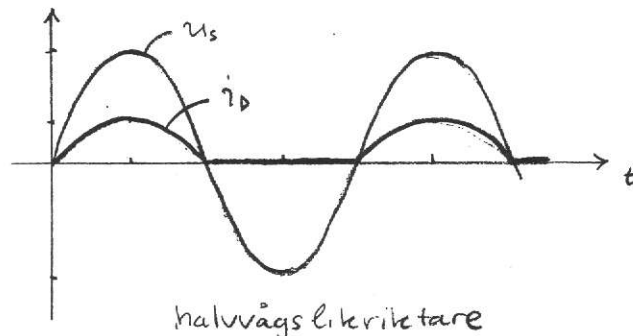
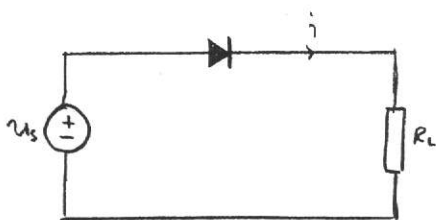


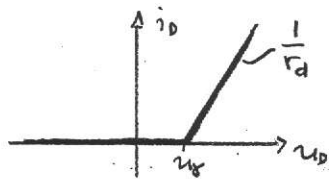
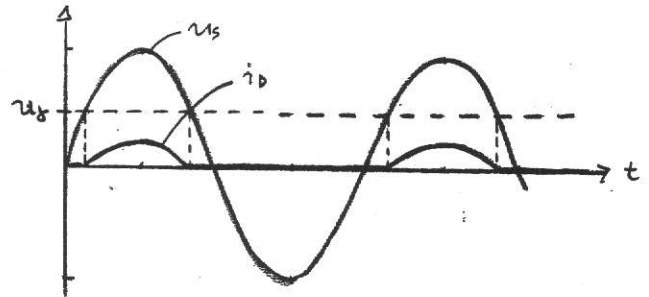
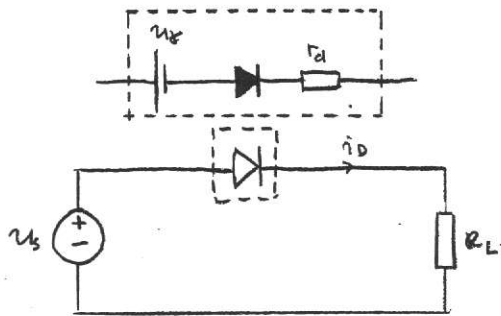
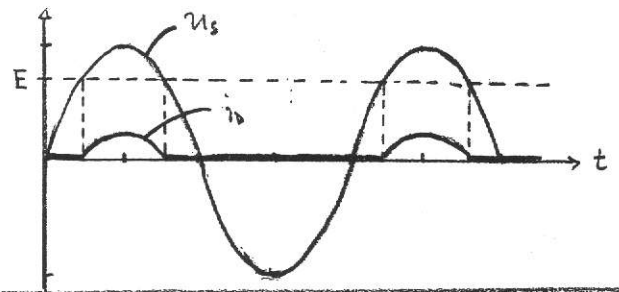
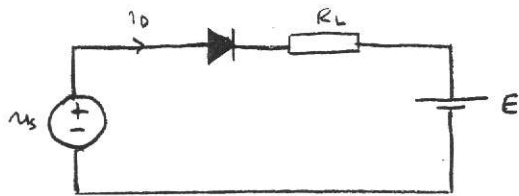
$$u_D < 0 \Rightarrow i_D = 0$$

$$i_D > 0 \Rightarrow u_D = 0$$

OBS! leder endast ström i en riktning

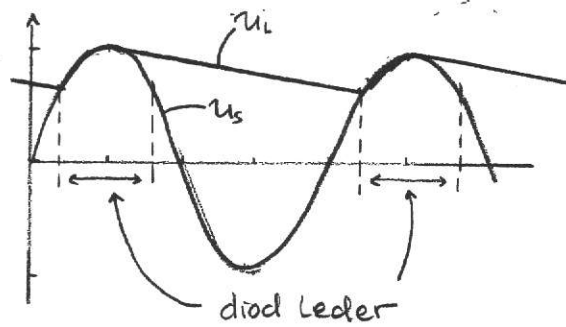
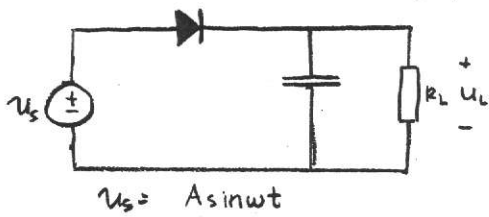
Några diodkretsar:



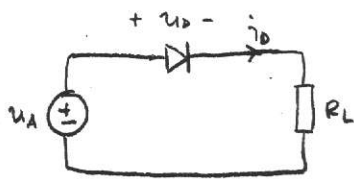


styckvis linjär  
diödmödel

Likriktare med filter

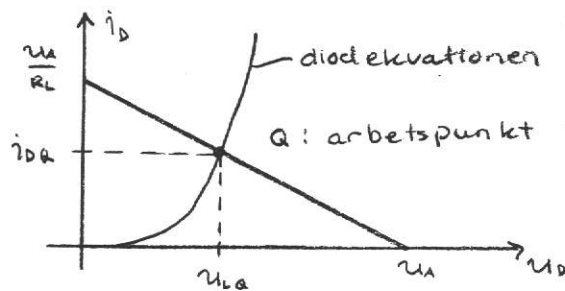


Arbetspunkt Q:



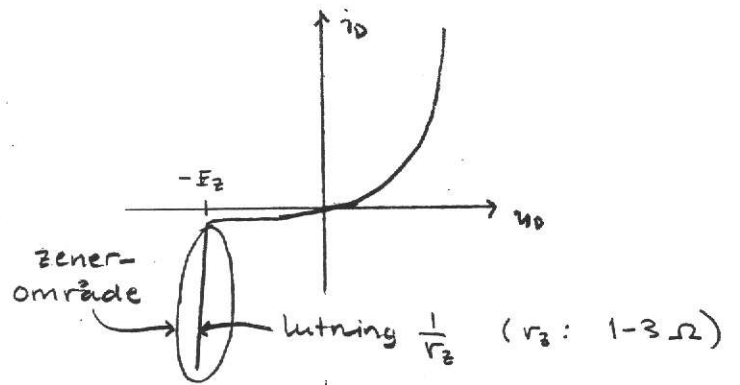
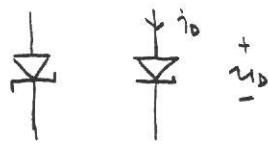
$$\text{KVL: } u_A = u_D + i_D \cdot R_L$$

$$i_D = -\frac{u_D}{R_L} + \frac{u_A}{R_L}$$

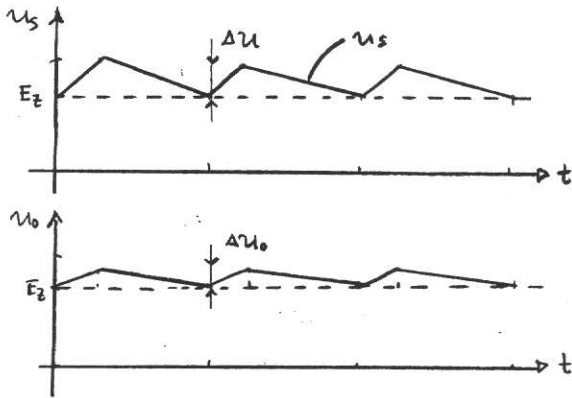
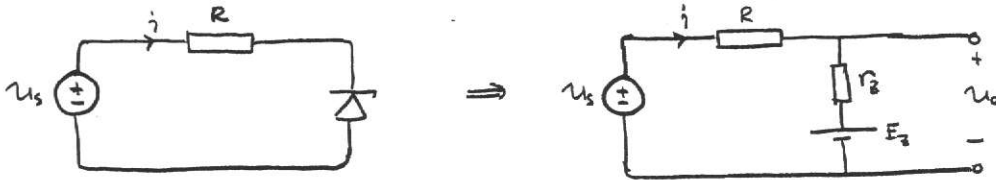




Zenerdiöden:



EX. (I Zenerområdet - ekv. schema)



$$i = \frac{U_s - E_Z}{R + r_Z}$$

$$\Delta i = \frac{\Delta U}{R + r_Z}$$

$$\Delta U_0 = \Delta i \cdot r_Z$$

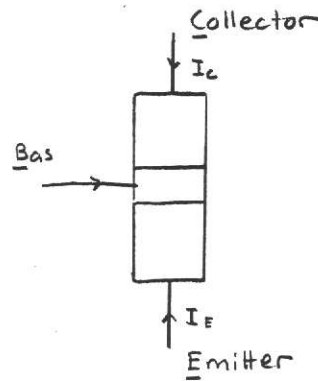
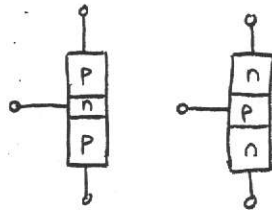
$$\frac{\Delta U_0}{\Delta U} = \frac{r_Z}{R + r_Z}$$

t.ex.  $r_Z = 2 \Omega$   
 $R = 1 k\Omega$

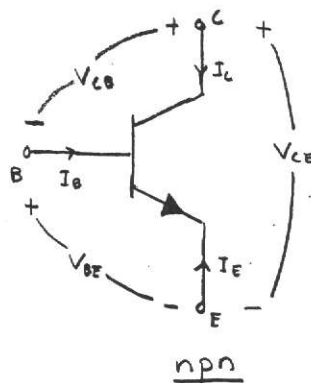
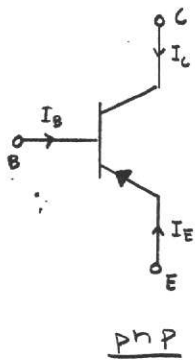
$$\frac{\Delta U_0}{\Delta U} = \frac{1}{500}$$

Bipolär transistor (BJT)

struktur:



symbol:



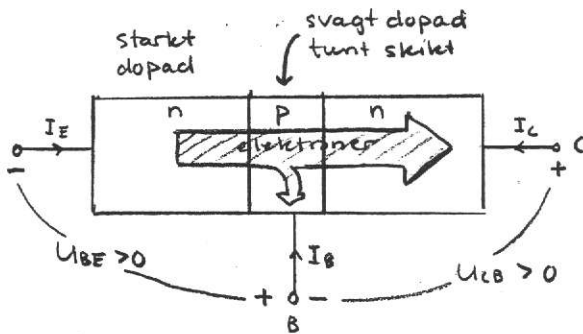
Transistorn har tre tillstånd:

Aktiv (Active): BE-dioden framspänd  
BC-dioden backspänd

Strypt (Cut Off): Båda pn-övergångar backspända

Bottnad (Saturated): Båda pn-övergångar framspända

Laddningstransport: npn-transistor i aktiva området (enkel modell)



EB-övergång ledande - elektroner från emitter till bas

Basregion tunn - elektroner känner av positiv collectorpotential och dras mot collector

$$\begin{cases} I_B + I_C + I_E = 0 \\ I_C = -\alpha I_E \end{cases}$$

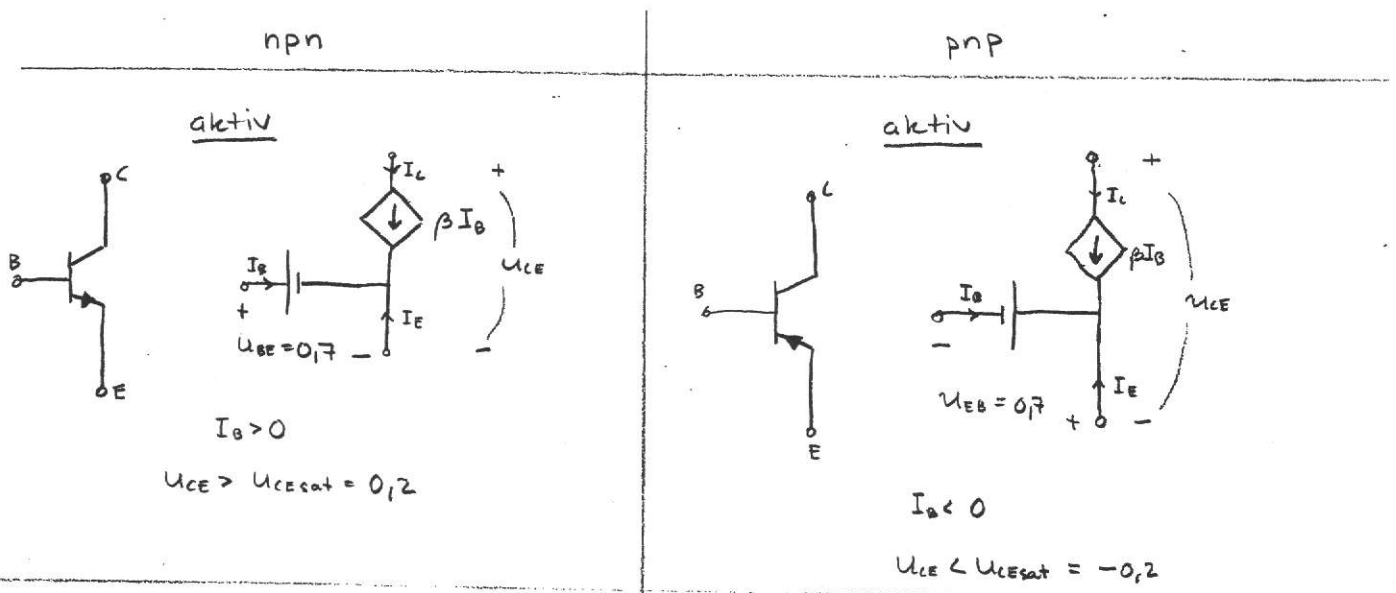
$$I_C = -\alpha (-I_B - I_C)$$

$$(1-\alpha)I_C = \alpha I_B$$

$$I_C = \frac{\alpha}{1-\alpha} I_B = \beta I_B, \quad \beta = \frac{\alpha}{1-\alpha} \text{ strömförstärkning}$$

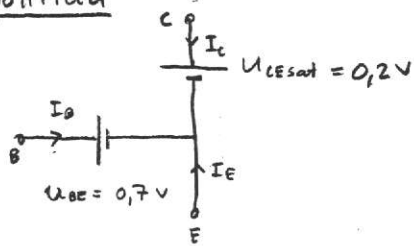
$$\begin{aligned} \alpha &\approx 0,95 - 0,99 \\ \beta &\approx 50 - 250 \end{aligned}$$

Storsignalmodeller:



nnp

bottnad

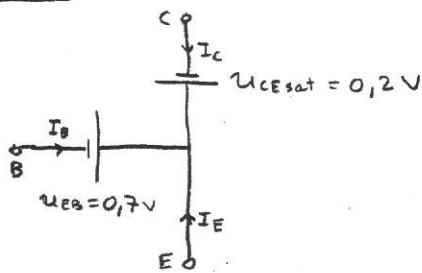


$I_B > 0$

I gränstillfälle (från aktiv till bottnad):  
 $I_C = \beta I_B$

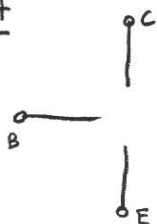
npn

bottnad



I gränstillfället:  $I_C = \beta I_B$

strypt

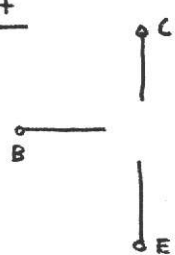


$I_B = I_C = I_E = 0$

$U_{BE} < \sim 0,5V$

I gränstillfället  $U_{BE} = 0,7V$

strypt

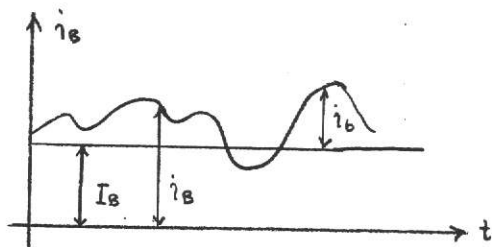


$I_B = I_C = I_E = 0$

$U_{BE} < -0,5V$

I gränstillfället  $U_{BE} = -0,7V$

Beteckningar



- \* Totala momentana värden:  $i_B, U_{BE}, i_C, \dots$
- \* Pålagraade värden:  $i_b, u_{be}, i_c, \dots$
- \* Fixa värden (DC):  $I_B, U_{BE}, I_C, \dots$

$i_B = I_B + i_b$

$U_{BE} = U_{BE} + u_{be} \dots osv.$

Bipolära transistorer:

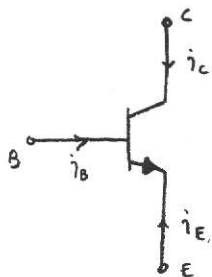
Samband mellan ström och spänning:

Utgå från Shockleys ekvation (npn-transistor).

$-i_E = I_{ES} (e^{\frac{U_{BE}}{V_T}} - 1)$

$I_{ES}$  mellan  $10^{-12}$  och  $10^{-16}$  A

$V_T \approx 25mV$  i rumstemp.



KCL:  $i_B + i_C + i_E = 0$

Def.:  $\alpha = \frac{i_C}{-i_E}$  ( $\alpha$  positiv och strax under 1)

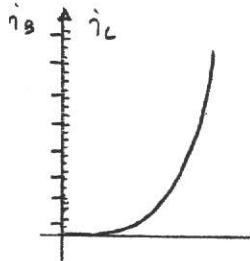
$i_C = \alpha I_{ES} [e^{\frac{U_{BE}}{V_T}} - 1]$

Antag  $U_{BE} >$  några tiondels volt  $\Rightarrow$  aktiva området  $\Rightarrow$  ettan försummas

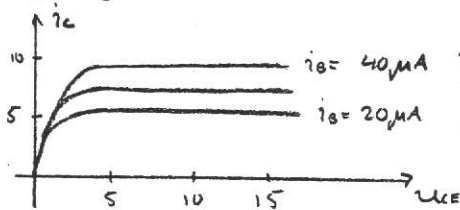
$$i_c \approx I_s e^{U_{BE}/V_T} \quad \text{och med } \beta = \frac{i_c}{i_B} = \frac{\alpha}{1-\alpha}$$

$$i_B = \frac{I_s}{\beta} e^{U_{BE}/V_T}$$

ingångskaraktäristik  $i_B = f(U_{BE})$  (npn-transistor)



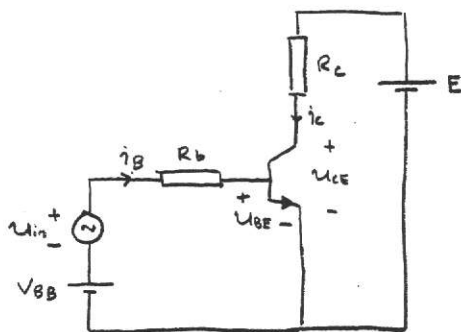
utgångskaraktäristik



$i_B$  konstant för varje kurva

$i_c$  styrs av  $U_{BE}$

### Förstärkning

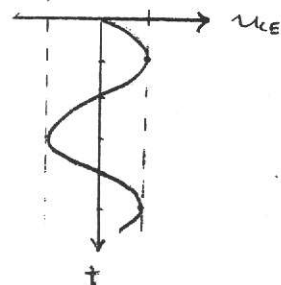
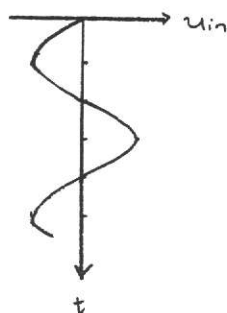
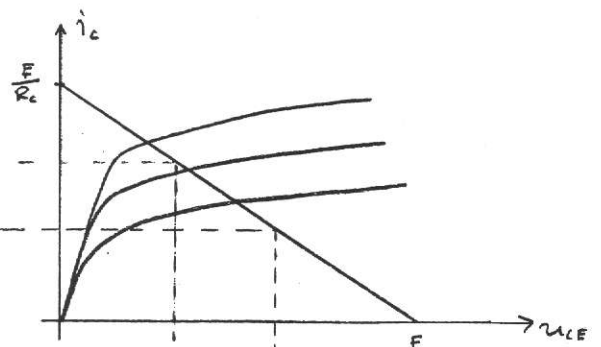
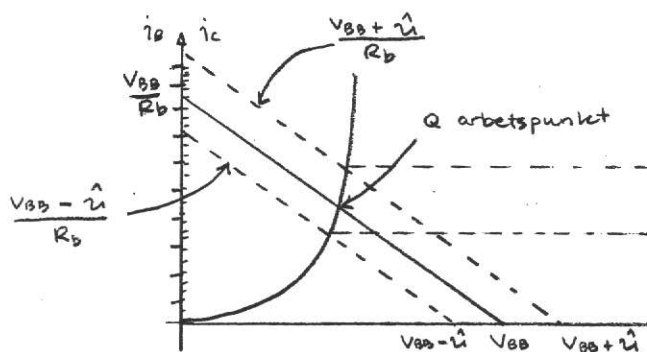


$$u_{in}(t) = \hat{u} \sin \omega t$$

ingångssidan:  $u_{in} + V_{BB} = i_B R_B + U_{BE}$

$$\Rightarrow i_B(t) = \frac{V_{BB} + u_{in}(t)}{R_B} - \frac{U_{BE}(t)}{R_B}$$

utgångssidan:  $E = R_C i_c + U_{CE}$



motfas

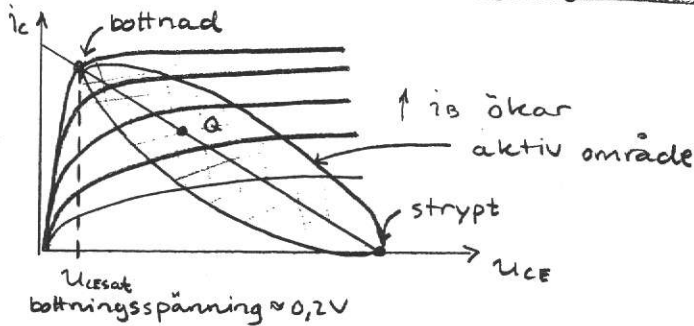
## Storsignalberäkning:

Beräkna arbetspunkten  $Q(I_C, U_{CE})$

## Småsignalberäkning:

Beräkning av variationer i ström/spänning runt  $Q$ .

## Transistorns tillstånd - utgångskaraktistik

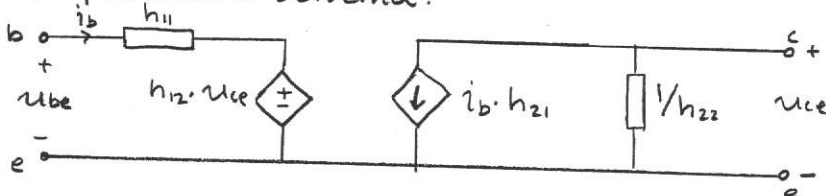


In- och utgångskaraktistik för en pnp-transistor liknar npn-fallet, men byt tecken på alla strömmar och spänningar.

## Transistorns småsignalschema

- Beskriver små signalvariationer runt ett jämviketsläge ( $Q$ ).  
(Linearisering runt arbetspunkten)
- Oberoende av transistortyp (npn, pnp).

## h-parameterschema:

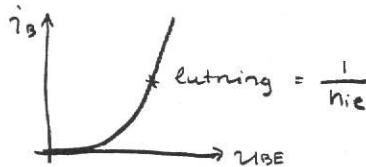


$$U_{be} = h_{11} i_b + h_{12} U_{ce}$$

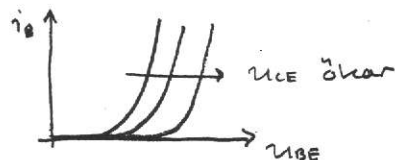
$$i_c = h_{21} i_b + h_{22} U_{ce}$$

$$\begin{bmatrix} U_{be} \\ i_c \end{bmatrix} = \begin{bmatrix} h_{11} & h_{12} \\ h_{21} & h_{22} \end{bmatrix} \begin{bmatrix} i_b \\ U_{ce} \end{bmatrix}$$

$$h_{11} = h_{ie} = \left. \frac{\Delta U_{BE}}{\Delta i_B} \right|_{U_{CE} = \text{konst.}}$$

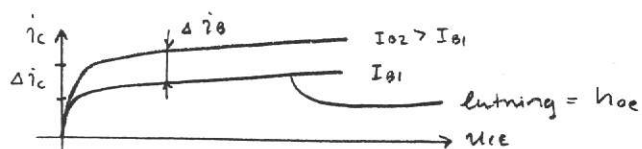


$$h_{12} = h_{re} = \left. \frac{\Delta U_{BE}}{\Delta U_{CE}} \right|_{i_B = \text{konst.}}$$



$$h_{21} = h_{fe} = \left. \frac{\Delta i_c}{\Delta i_B} \right|_{U_{CE} = \text{konst.}}$$

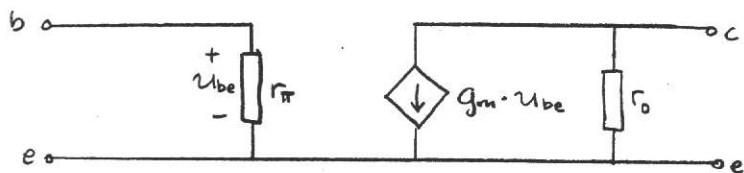
strömförstärkning (småsignalfallet)



$$h_{22} = h_{oe} = \left. \frac{\Delta i_c}{\Delta U_{CE}} \right|_{i_B = \text{konst.}}$$

utadmittans (orsakas av basviddsmodulation)

Förenklad hybrid- $\pi$  modell (läga frekvenser)



Från transistorens utgångskaraktäristik:

$$i_c = I_s e^{\frac{u_{BE}}{V_T}}$$

$$u_{BE} = U_{BE} + u_{be}$$

$$i_c = I_s e^{\frac{U_{BE} + u_{be}}{V_T}} = \underbrace{I_s e^{\frac{U_{BE}}{V_T}}}_{I_c} \cdot e^{\frac{u_{be}}{V_T}} \quad (\text{små signalvariationer } u_{be} \ll V)$$

serielltv.  $i_c = I_c \left(1 + \frac{u_{be}}{V_T}\right) = I_c + \underbrace{I_c \frac{u_{be}}{V_T}}_{i_c}$

$$i_c = \frac{I_c}{V_T} \cdot u_{be} = g_m \cdot u_{be}$$

Inimpedans  $\left(\frac{u_{in}}{i_{in}}\right)$ :

$$r_{\pi} = \frac{u_{be}}{i_b} = \frac{u_{be}}{\frac{i_c}{\beta}} = \frac{\beta}{g_m} = \frac{\beta V_T}{I_c} = \frac{V_T}{I_b}$$

$$\diamond \downarrow g_m \cdot u_{be} = g_m \cdot i_b \cdot r_{\pi} = g_m \cdot r_{\pi} \cdot i_b = \beta \cdot i_b = h_{fe} \cdot i_b = h_{21} \cdot i_b$$

Samband mellan  $\pi$ - och  $h$ -parametrar:

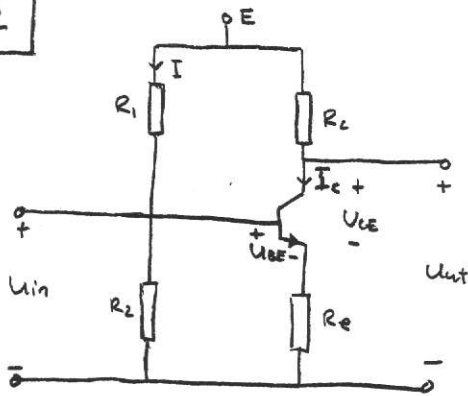
$$h_{11} = h_{ie} = r_{\pi}$$

$$h_{21} = h_{fe} = g_m \cdot r_{\pi} \Rightarrow g_m = \frac{h_{fe}}{h_{ie}}$$

$$h_{22} = h_{oe} = \frac{1}{r_o}$$

Samma småsignal för npn och pnp men använd  $g_m = \frac{|I_c|}{V_T}$

C2



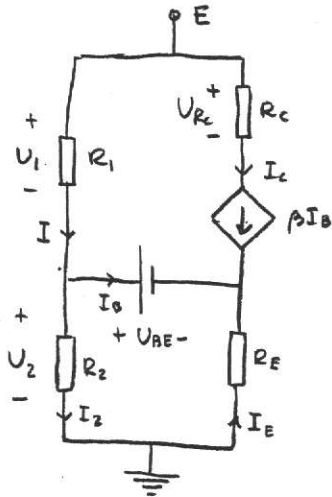
Beräkna  $R_1, R_2, R_3$

$$\left. \begin{aligned} I_c &= 2,5 \text{ mA} \\ U_{CE} &= 3 \text{ V} \end{aligned} \right\} Q$$

$$U_{BE} = 0,7 \text{ V}, \quad E = 6 \text{ V}$$

$$\beta = 300, \quad I \approx 0,3 \text{ mA}, \quad R_e = 200 \Omega$$

Inför störsignalschema!



För transistoren gäller

$$I_b + I_c + I_e = 0$$

$$I_c = \beta I_b$$

$$-I_e = I_b + I_c = I_c \left( \frac{1}{\beta} + 1 \right)$$

$$\begin{aligned} \text{Kretsekv. } U_2 &= U_{BE} - I_e R_e = U_{BE} + I_c \left( \frac{1}{\beta} + 1 \right) R_e = \\ &= 0,7 + 2,5 \cdot 10^{-3} \left( \frac{1}{300} + 1 \right) 200 = 1,2 \text{ V} \end{aligned}$$

$$I_2 = I - I_b = I - \frac{I_c}{\beta}$$

$$U_2 = R_2 I_2 \Rightarrow R_2 = \frac{U_2}{I_2} = \frac{U_2}{I - \frac{I_c}{\beta}} = \dots = \underline{4,1 \text{ k}\Omega}$$

$$U_1 = E - U_2 = R_1 I$$

$$R_1 = \frac{E - U_2}{I} = \frac{6 - 1,2}{0,3 \cdot 10^{-3}} = \underline{16 \text{ k}\Omega}$$

$$E = U_{Rc} + U_{CE} + U_{RE}$$

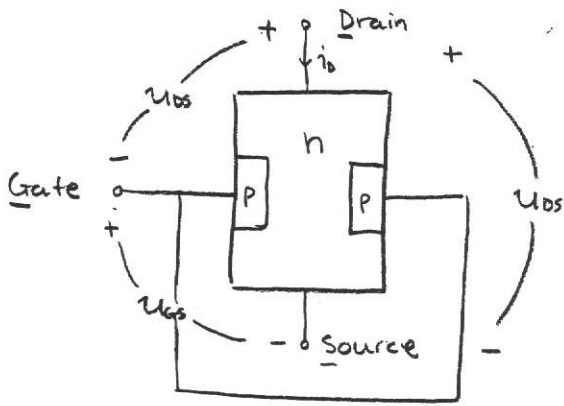
$$U_{Rc} = E - U_{CE} - U_{RE} = E - U_{CE} + I_e R_e = E - U_{CE} - I_c \left( \frac{1}{\beta} + 1 \right) R_e$$

$$U_{Rc} = I_c R_c$$

$$R_c = \frac{E - U_{CE} - I_c \left( \frac{1}{\beta} + 1 \right) R_e}{I_c} = \dots = \underline{1 \text{ k}\Omega}$$

# JFET ( Junction Field Effekt Transistor )

Bara en typ av laddningsbärare (unipolär)



- \* Arbetar med bakspända pn-övergångar
- \* Hög inimpedans

## Funktion:

1)  $U_{GS} = 0$

Applicera  $U_{DS} > 0 \Rightarrow i_D$  flyter från D till S genom kanal med fria laddningsbärare

2)  $U_{GS} < 0$

$U_{DS}$  liten

Utarmningsområdet mellan Gate och kanal växer. Kanal med fria laddningsbärare minskar.

Kanal försvinner vid  $U_{GS} = U_p$  (Pinch off-spänning).

3)  $U_{GS}$  hålls konstant ( $U_p < U_{GS} < 0$ ).

Låt  $U_{DS}$  öka.

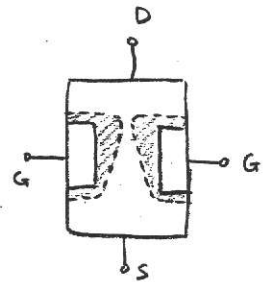
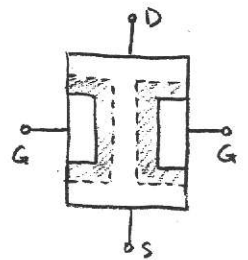
Kontinuerligt spänningsfall längs kanalen.

Spänningen mellan en punkt i kanalen och G varierar.

Kraftigare utarmning mot D:

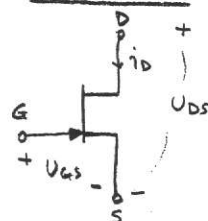
$U_{DS}$  ökar mer  $\Rightarrow$  Pinch off

$i_D$  mätas

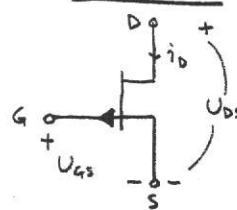


Två typer:

n-kanal



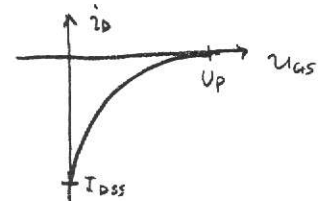
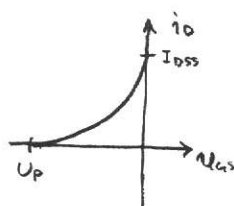
p-kanal



I strömmråde:

(mättnadsområde)

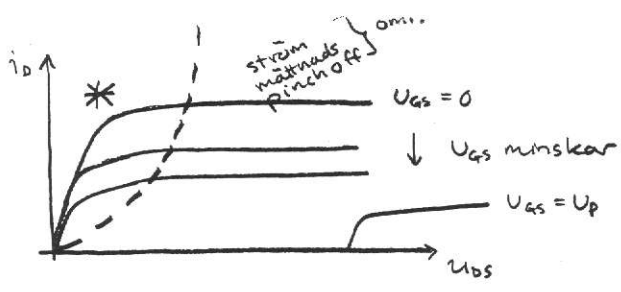
(Pinch off-område)





Karakteristik

\* Triod-Resistans-Ohm-område



Ohmområdet

$$r_{DS} \approx \frac{U_{DS}}{i_D}$$

$$r_{DS} = f(U_{GS})$$

Strömområdet

$$i_D = I_{DSS} \left(1 - \frac{U_{GS}}{U_p}\right)^2$$

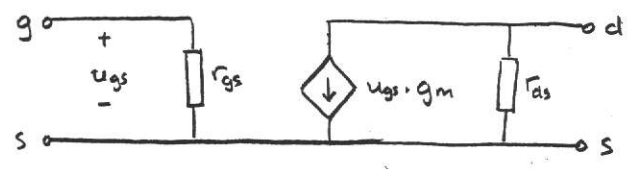
n-kanal:  $U_{GS} > U_p$   
 p-kanal:  $U_{GS} < U_p$   
 $i_G = 0$   
 $I_{DSS} = i_D$  för  $U_{GS} = 0$

Cut off

$$i_D = 0$$

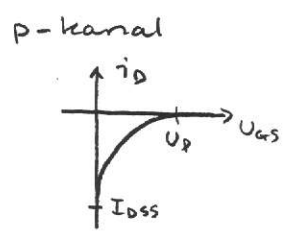
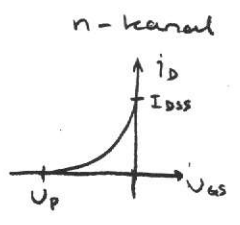
n-kanal:  $U_{GS} < U_p$   
 p-kanal:  $U_{GS} > U_p$

JFET - småsignalschema (samma för n- och p-kanal)



Ofta sätts  $r_{DS}$  och  $r_{GS}$  lika med  $\infty$ .

Karakteristik - strömområde:



$$g_m = \left. \frac{\partial i_D}{\partial U_{GS}} \right|_{U_{DS} = \text{konst.}}$$

$$g_m = \frac{\partial}{\partial U_{GS}} \left( I_{DSS} \left(1 - \frac{U_{GS}}{U_p}\right)^2 \right) = -\frac{2I_{DSS}}{U_p} \left(1 - \frac{U_{GS}}{U_p}\right)$$

$g_m$  = transkonduktans

Typiska värden:

- $r_{DS} = 0,1 - 1 \text{ M}\Omega$  (utimpedans)
- $r_{GS} > 10^8 \Omega$  (inimpedans)
- $g_m = 0,1 - 10 \text{ mA/V}$

# Differential förstärkare

Funktion:

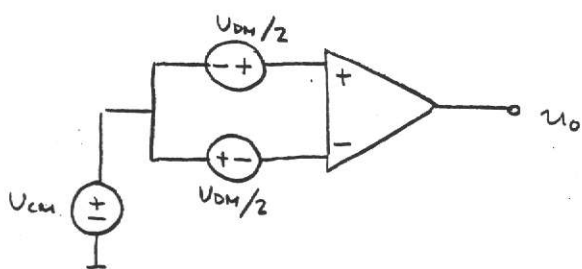
- Förstärker skillnadssignaler (DM-signal) [DM = Differential Mode]
- Dämpar summasignaler (CM-signal) [CM = Common Mode]

$A_{DM}$ : förstärkning av skillnadssignaler

$A_{CM}$ : " " " summasignaler

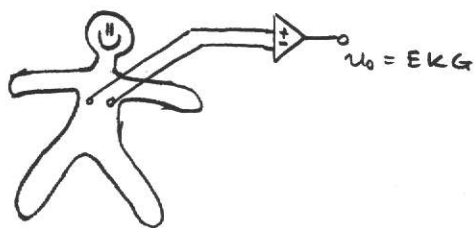
Kvalitetsmått (Common Mode Rejection Ratio):

$$CMRR = \left| \frac{A_{DM}}{A_{CM}} \right| \text{ skall vara så stor som möjligt}$$

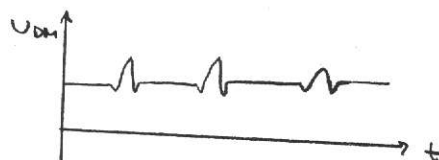
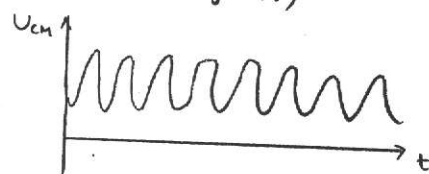


EX:

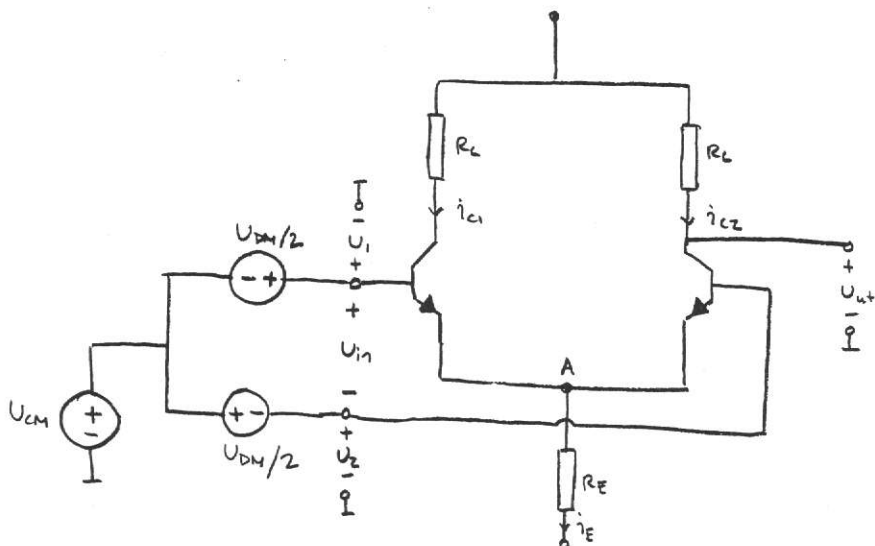
EKG-signal



Diff. först. används för att undertrycka störningar (CM-signal)



Differential förstärkarsteg:



$$i_{c1} = I_C + i_{c1}$$

$$i_{c2} = I_C + i_{c2}$$

$$i_E = \frac{i_{c1} + i_{c2}}{\alpha} = I_E + i_e$$

$$I_E = \frac{2I_C}{\alpha} \approx 2I_C$$

$$i_e \approx i_{c1} + i_{c2}$$

lika transistorer

## DM-förstärkning:

Beräkna  $A_{DM} = \frac{U_{ut}}{U_{DM}} \Big|_{U_{CM}=0}$  där  $U_{DM} = U_1 - U_2$

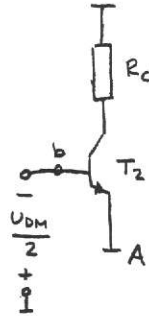
Strömmen ökar lika mycket i  $T_1$  som den minskar i  $T_2$  (eller tvärtom).  
Ingen ström genom  $R_E$

$$i_e = i_{e1} + i_{e2} = \{i_{e1} = -i_{e2}\} = 0$$

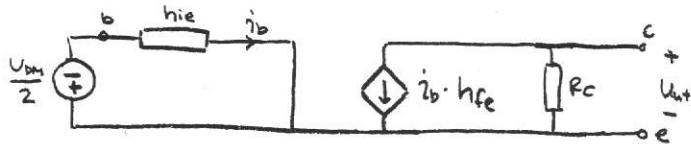
$$i_E = I_E + i_e = I_E$$

Spänningen i A konstant  $\Rightarrow$  "virtuell jord"

Vi räknar endast på ett steg (t.ex. högra delen)



småsignalschema



$$\begin{cases} -\frac{U_{DM}}{2} = i_b \cdot h_{ie} \\ U_{ut} = -i_b \cdot h_{fe} \cdot R_c \end{cases}$$

$$A_{DM} = \frac{U_{ut}}{U_{DM}} = \frac{h_{fe} R_c}{2 h_{ie}}$$

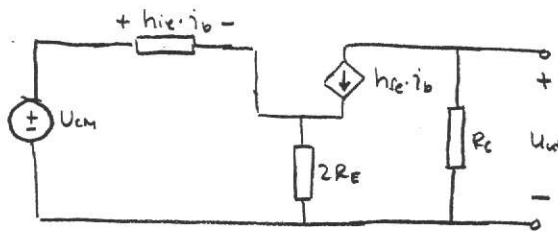
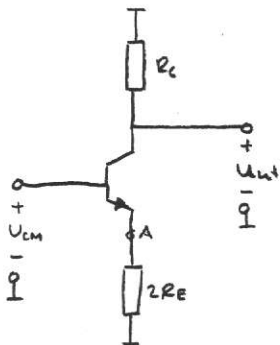
## CM-förstärkning:

Beräkna  $A_{CM} = \frac{U_{ut}}{U_{CM}} \Big|_{U_{DM}=0}$  där  $U_{CM} = U_1 = U_2$

strömmen ökar (minskar) lika mycket i  $T_1$  och  $T_2$

strömmen genom  $R_E$  ökar med  $\approx 2 \cdot i_c$

Vi behöver bara räkna på ett steg om  $R_E$  byts mot  $2R_E$ .



$$\begin{aligned} U_{CM} &= h_{ie} \cdot i_b + 2R_E (1 + h_{fe}) i_b \\ U_{ut} &= -h_{fe} \cdot i_b \cdot R_c \end{aligned}$$

$$A_{DM} = \frac{U_{ut}}{U_{CM}} = -\frac{h_{fe} \cdot R_c}{h_{ie} + (1 + h_{fe}) \cdot 2R_E} = \begin{cases} h_{fe} \gg 1 \\ h_{fe} \cdot 2R_E \gg h_{ie} \end{cases} \approx -\frac{R_c}{2R_E}$$

$$CMRR = \left| \frac{A_{DM}}{A_{CM}} \right| = \frac{h_{fe} R_c}{2 h_{ie}} \cdot \frac{2R_E}{R_c} = \frac{h_{fe} R_E}{h_{ie}}$$

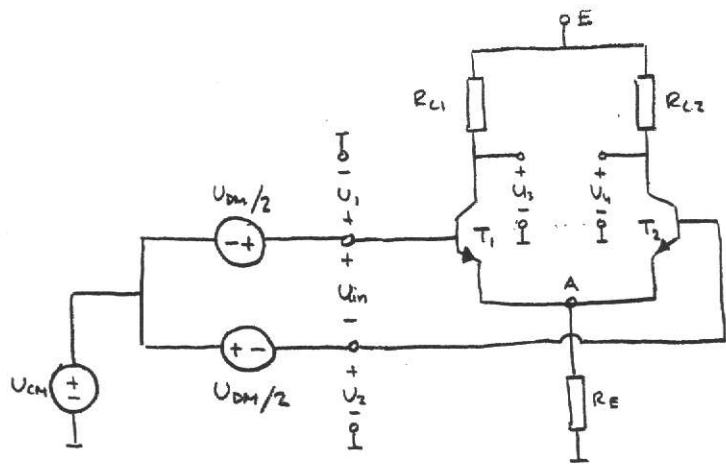
stort  $R_E$  ger stort CMRR?

$R_E$  kan endast ändras i begränsad omfattning ty arbetspunkten för  $T_1$  och  $T_2$  påverkas.

Hur gör man?

Ersätt  $R_E$  med en transistorkrets. Tex en strömspegel

se strömspeglar i S&S.



$$R_{c1} = R_c - \frac{\Delta R}{2}$$

$$R_{c2} = R_c + \frac{\Delta R}{2}$$

$$U_{in} = U_1 - U_2$$

lika transistor

a) Symmetrisk ingång

$$u_{ut} = u_3 - u_4$$

DM-signal ( $U_{cm} = 0$ )

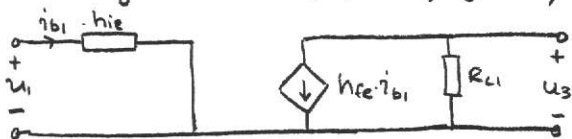
$$u_1 = -u_2 = \frac{U_{DM}}{2}$$

$U_{DM}$  ökar  $\Rightarrow$

- $u_1$  ökar  $\Rightarrow i_{b1}$  ökar  $\Rightarrow i_{c1}$  ökar med  $\Delta i_c$
  - $u_2$  minskar  $\Rightarrow i_{b2}$  minskar med  $\Delta i_c$
- } ingen strömändring genom  $R_E$

A virtuell jord.

småsignalschema (utnyttja symmetri):



$$u_1 = i_{b1} \cdot h_{ie}$$

$$u_3 = -h_{fe} \cdot i_{b1} \cdot R_{c1}$$

$$u_3 = -u_1 \cdot \frac{h_{fe} \cdot R_{c1}}{h_{ie}} = -\frac{U_{DM}}{2} \cdot \frac{h_{fe} \cdot R_{c1}}{h_{ie}} \quad (1)$$

p.s.s. för andra steget

( $u_1 \rightarrow u_2, u_3 \rightarrow u_4, R_{c1} \rightarrow R_{c2}$ )

$$u_4 = -u_2 \cdot \frac{h_{fe} \cdot R_{c2}}{h_{ie}} = \frac{U_{DM}}{2} \cdot \frac{h_{fe} \cdot R_{c2}}{h_{ie}} \quad (2)$$

$$u_{ut} = u_3 - u_4 = -\frac{U_{DM}}{2} \cdot \frac{h_{fe}}{h_{ie}} (R_{c1} + R_{c2}) = -U_{DM} \cdot \frac{h_{fe} \cdot R_c}{h_{ie}}$$

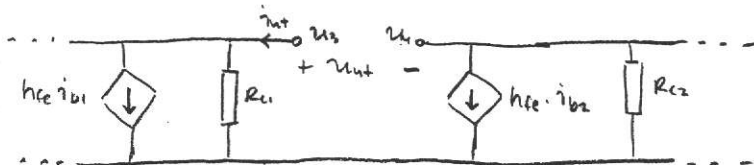
$$A_{DM} = \frac{u_{ut}}{U_{DM}} = -\frac{h_{fe} R_c}{h_{ie}}$$

Inimpedans

$$R_{in} = \frac{u_{in}}{i_{in}} = \frac{u_{in}}{i_{b1}} = \frac{U_{DM}}{i_{b1}} = \frac{2u_1}{i_{b1}} = \{u_1 = i_{b1} \cdot h_{ie}\} = 2h_{ie}$$

Utimpedans

$$R_{ut} = \frac{u_{ut}}{i_{ut}} \Big|_{u_{in}=0} = \left\{ \begin{array}{l} u_{in} = 0 \Rightarrow u_1 = u_2 = 0 \\ i_{b1} = i_{b2} = 0 \end{array} \right\} = R_{c1} + R_{c2} = 2R_c$$



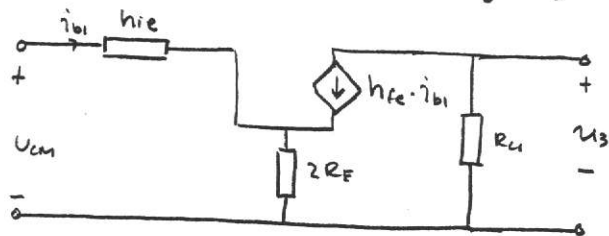
CM-signal ( $U_{cm} = 0$ )

$$u_1 = u_2 = u_{cm}$$

$u_{cm}$  ökar  $\Rightarrow$

- $u_1$  ökar  $\Rightarrow i_{b1}$  ökar  $\Rightarrow i_{c1}$  ökar med  $\Delta i_c$
  - $u_2$  "  $\Rightarrow i_{b2}$  "  $\Rightarrow i_{c2}$  " " " " }
- ström ökar med  $2\Delta i_c$  genom  $R_E$

småsignalschema (CM-signal) - betrakta ett steg



$$\begin{cases} u_{cm} = i_{b1} \cdot h_{ie} + i_{b1} (1 + h_{fe}) 2R_E \\ u_3 = -h_{fe} \cdot i_{b1} \cdot R_{c1} \end{cases}$$

$$u_3 = \frac{-h_{fe} \cdot R_{c1} \cdot u_{cm}}{h_{ie} + (1 + h_{fe}) 2R_E}$$

p.s.s för andra steget ( $u_3 \rightarrow u_4$ ,  $R_{c1} \rightarrow R_{c2}$ )

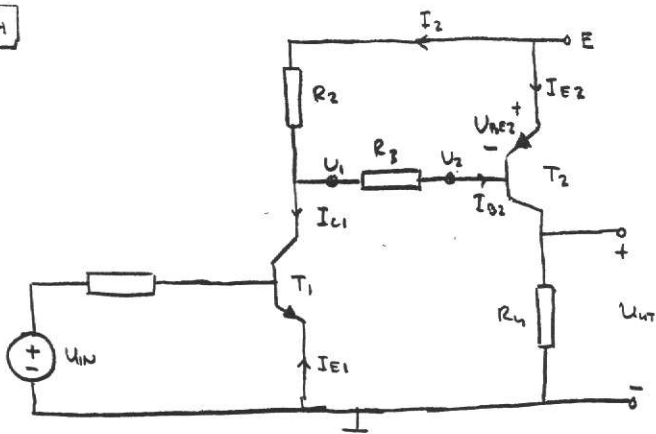
$$u_4 = \frac{-h_{fe} R_{c2} u_3}{h_{ie} + (1 + h_{fe}) 2R_E}$$

$$u_{unt} = u_3 - u_4 = u_{cm} \frac{h_{fe} (R_{c2} - R_{c1})}{h_{ie} + (1 + h_{fe}) 2R_E}$$

$$CMRR = \left| \frac{A_{dm}}{A_{cm}} \right| = \frac{h_{fe} R_c}{h_{ie}} \cdot \frac{h_{ie} + (1 + h_{fe}) 2R_E}{h_{fe} \Delta R} = \frac{R_3}{\Delta R} \left( 1 + \frac{(1 + h_{fe}) 2R_E}{h_{ie}} \right)$$

b)  $u_{unt} = u_4$  (annars som tidigare)

C4



För  $T_1$  och  $T_2$  gäller  $\beta = 50$

$$E_0 = \frac{E}{10} = |U_{BE}|$$

$$R_1 = R_3 = 20R$$

$$R_2 = R_4 = R$$

$T_2$  strypt

Gränsvärdet då  $T_2$  precis slutar leda ström

$$\left. \begin{aligned} U_{BE2} &= E_0 \\ I_{B2} &= 0 \end{aligned} \right\} \Rightarrow \begin{aligned} U_2 &= E - E_0 \\ U_1 &= U_2 \text{ ty } I_{B2} = 0 \\ I_2 &= \frac{E - U_1}{R_2} \\ I_{C1} &= I_2 \text{ ty } I_{B2} = 0 \\ I_{C1} &= \beta I_{B1} \end{aligned} \left. \vphantom{\begin{aligned} U_{BE2} &= E_0 \\ I_{B2} &= 0 \end{aligned}} \right\} \begin{aligned} U_{in} &= I_{B1} R_1 + \overbrace{U_{BE1}}^{E_0} = \\ &= R_1 \frac{I_2}{\beta} + E_0 = \\ &= \frac{R_1}{\beta} \cdot \frac{E - (E - E_0)}{R_2} + E_0 = \\ &= E_0 \left( 1 + \frac{R_1}{\beta R_2} \right) = 0,14E \end{aligned}$$

$T_2$  bottnad

$$U_{BE2} = 0$$

$$I_{C2} = -\frac{E}{R_4}$$

$$I_{B2} = \frac{I_{C2}}{\beta} = -\frac{E}{\beta R_4}$$

$$U_2 = E - E_0$$

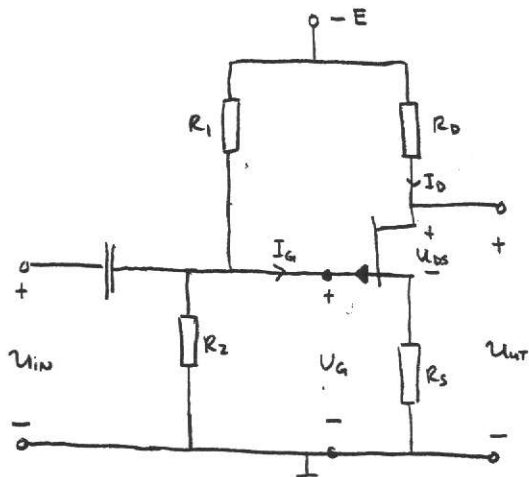
$$U_1 = I_{B2} \cdot R_3 + U_2$$

$$U_1 = \frac{-E R_3}{\beta R_4} + E - E_0$$

$$\left. \begin{aligned} I_2 &= \frac{E - U_1}{R_2} \\ I_{C1} &= I_2 - I_{B2} \\ I_{B1} &= \frac{I_{C1}}{\beta} \end{aligned} \right\} \begin{aligned} I_{B1} &= \frac{I_2 - I_{B2}}{\beta} = \frac{\frac{E - U_1}{R_2} - I_{B2}}{\beta} = \frac{1}{R_2} \left( E + \frac{E R_3}{\beta R_4} - E + E_0 \right) + \frac{E}{\beta R_4} \\ &= \left\{ E_0 = \frac{E}{10} \right\} = \dots = \frac{E}{\beta} \left[ \frac{1}{\beta R_4} \left( \frac{R_3}{R_2} + 1 \right) + \frac{1}{10 R_2} \right] \\ U_{in} &= I_{B1} R_1 + E_0 = \dots = 0,308 E \end{aligned}$$

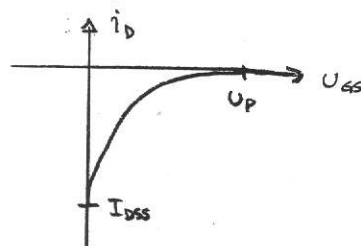
kontroll: Bottnar resp. strypts  $T_1$  och  $T_2$  ?

C11



p-kanal JFET

i sitt mättnadsområde



$$I_{DSS} = -4 \text{ mA}$$

$$U_P = 4 \text{ V}$$

$$i_D = I_{DSS} \left(1 - \frac{U_{GS}}{U_P}\right)^2$$

hög inimpedans  $\Rightarrow$

$$\begin{cases} I_G = 0 \\ U_G = -E \frac{R_2}{R_1 + R_2} = \dots = -8 \text{ V} \\ U_G = U_{GS} + I_D R_S = U_{GS} + R_S I_{DSS} \left(1 - \frac{U_{GS}}{U_P}\right)^2 \end{cases}$$

Beräkna  $U_{GS}$  (2:a grads. ekv.)

Lösningar:

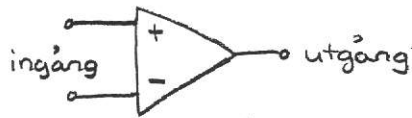
$$U_{GS} = 1 \text{ ty } 0 < U_{GS} < U_P$$

$$i_D = I_{DSS} \left(1 - \frac{U_{GS}}{U_P}\right)^2 = \dots = -2,25 \text{ mA}$$

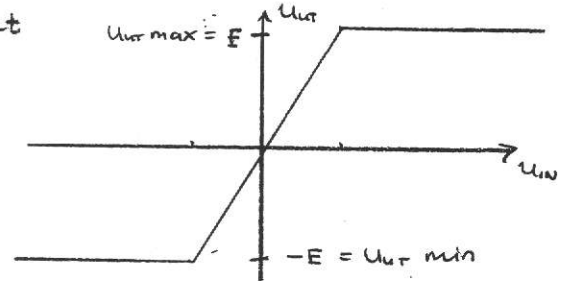
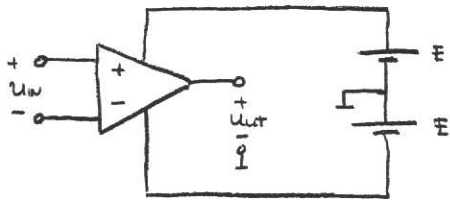
Härur fås  $U_{DS}$ .

# Operationsförstärkare

Symbol



- Används för att förstärka små elektriska signaler
- Aktiv komponent
  - har effektförstärkning
  - kretsen måste förses med effekt



Typiskt värde på  $E$  är  $15V$

Normalt markeras inte  $\pm E$  anslutningar i symbol för op. först.

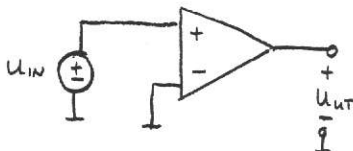
Förstärkning  $F = \frac{u_{ut}}{u_{in}}$  (ggr) eller

$$F_{dB} = 20 \log\left(\frac{u_{ut}}{u_{in}}\right) \text{ (dB)}$$

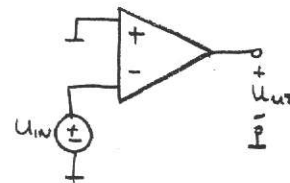
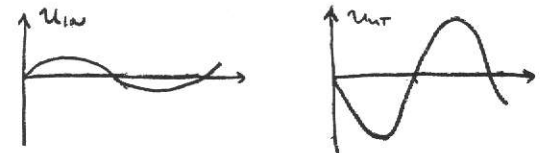
$F$  kallas "open loop gain", "differential gain".

## Begrepp

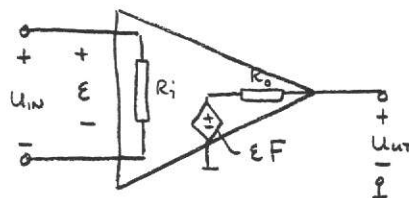
Icke inverterande först.



Inverterande först.



Enkel småsignalmodell av operationsförstärkare:



Vi kan förenkla modellen av en operationsförstärkare ytterligare:

Ideal op. först.

Ingångsimpedans  $R_i = \infty$

Utgångsimpedans  $R_o = 0$

Spänningsförstärkning  $F = \infty$

Bandbredd  $B = \infty$

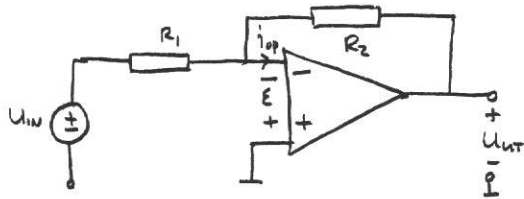


Kan en sådan krets vara användbar?

Studera en inv. först.

Antag först att  $F \neq \infty$  men  $R_i = \infty$  och  $R_o = 0$ .

En krets med negativ återkoppling:



Beräkna  $\frac{U_{ut}}{U_{in}}$ .

$$\begin{cases} U_{ut} = \varepsilon \cdot F \\ i_1 + i_2 = i_{op} = 0 \quad ; \text{ty } R_i = \infty \\ \frac{U_{in} + \varepsilon}{R_1} + \frac{U_{ut} + \varepsilon}{R_2} = 0 \end{cases}$$

Eliminera  $\varepsilon$ :

$$\frac{U_{in}}{R_1} + \frac{U_{ut}}{R_1 F} + \frac{U_{ut}}{R_2} + \frac{U_{ut}}{R_2 F} = 0$$

$$\Rightarrow \frac{U_{in}}{R_1} = -U_{ut} \frac{R_2 + FR_1 + R_1}{R_1 R_2 F}$$

$$\frac{U_{ut}}{U_{in}} = - \frac{R_2}{R_1 + R_2} \cdot \frac{F}{1 + \frac{FR_1}{R_1 + R_2}} = - \frac{R_2/R_1}{1 + \frac{R_1 + R_2}{FR_1}}$$

Om  $F$  stort:  $\frac{R_1 + R_2}{FR_1} \ll 1$  och  $\frac{U_{ut}}{U_{in}} \approx -\frac{R_2}{R_1}$

$\frac{U_{ut}}{U_{in}} = -\frac{R_2}{R_1}$  då  $F \rightarrow \infty$  OBS! Kretsens först. oberoende av  $F$

Eliminera  $U_{ut}$ :

$$\frac{U_{in}}{R_1} + \frac{\varepsilon}{R_1} + \frac{F \cdot \varepsilon}{R_2} + \frac{\varepsilon}{R_2} = 0$$

$$\frac{U_{in}}{R_1} = -\varepsilon \frac{R_1 + R_2 + FR_1}{R_1 R_2}$$

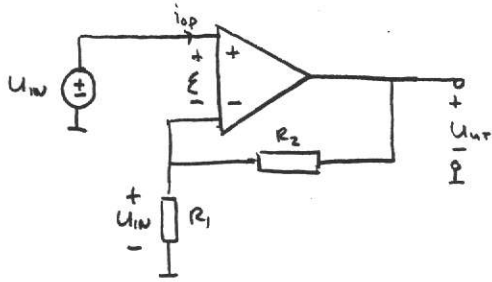
$$\varepsilon = -U_{in} \frac{R_2}{R_1 + R_2} \frac{1}{1 + \frac{R_1}{R_1 + R_2} \cdot F} \rightarrow 0 \text{ då } F \rightarrow \infty$$

Allmänt gäller att om utgången på en ideal op. först. återkopplas till minusingången, blir  $\varepsilon = 0$ .

Man säger att minusingången blir virtuellt jordad.

OBS! Det flyter ingen ström mellan ingångarna

## Icke inverterande först.



Antag ideal op.-först.  $R_i = \infty \Rightarrow i_{op} = 0$

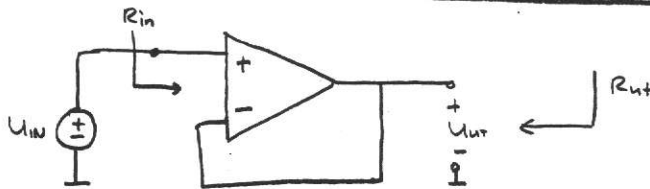
Neg. återkopplad }  $\Rightarrow \epsilon = 0$   
 $F = \infty$

Spänningsdelning ger  $U_{in} = U_{ut} \frac{R_1}{R_1 + R_2} \Rightarrow \frac{U_{ut}}{U_{in}} = \frac{R_1 + R_2}{R_1}$

$$R_{in} = \frac{U_{in}}{i_{in}} = \frac{U_{in}}{i_{op}} = \infty$$

$$R_{ut} = \frac{U_{ut}}{i_{ut}} \Big|_{\text{nollställt ober. källor}} = R_o = 0$$

## Spänningsföljare (impedansomvandlare)



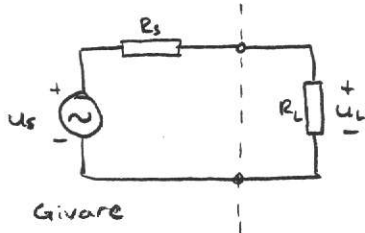
ideal op.-först. }  $\epsilon = 0$   
 neg. återk.

Förstärkning  $\frac{U_{ut}}{U_{in}} = 1$ , ty  $\epsilon = 0$

$$R_{in} = R_i = \infty$$

$$R_{ut} = R_o = 0$$

Ex. En mätsituation.



① Ideal givare (källa)

$R_s = 0$  och  $U_L = U_s$  ober. av  $R_L$

② Obelastad källa ( $R_L = \infty$ ) inget spänningsfall över  $R_s$

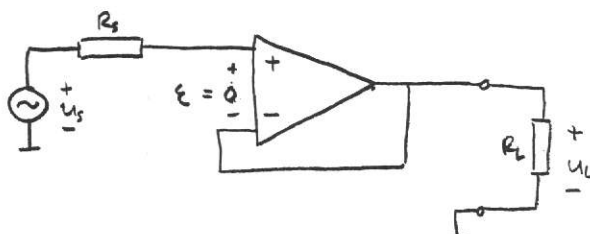
$U_L = U_s$  ober. av  $R_s$

③ I verkligheten är  $R_s > 0$  och  $R_L < \infty$

$$U_L = U_s \frac{R_L}{R_L + R_s} \quad U_L \text{ beror av } R_L,$$

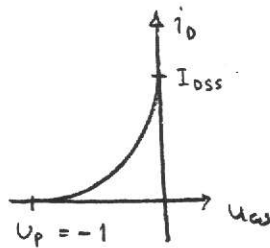
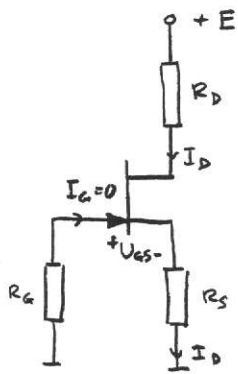
Vad göra?

Använd spänningsföljare



$$U_L = U_s \text{ ober. av } R_L$$

D9



$$g_m = \frac{\partial i_D}{\partial u_{gs}}$$

KVL:  $R_g I_g + U_{gs} + I_D R_s = 0$   
 $= 0$

$$I_D = - \frac{U_{gs}}{R_s}$$

$$I_D = I_{DSS} \left(1 - \frac{U_{gs}}{U_p}\right)^2 - \frac{U_{gs}}{R_s}$$

Beräkna  $U_{gs}$ .

$$U_{gs}^2 - U_{gs} U_p \left(2 - \frac{U_p}{R_s I_{DSS}}\right) + U_p^2 = 0$$

$$U_{gs} = U_p \left[ \left(1 - \frac{U_p}{2 R_s I_{DSS}}\right) \pm \sqrt{\left(1 - \frac{U_p}{2 R_s I_{DSS}}\right)^2 - 1} \right]$$

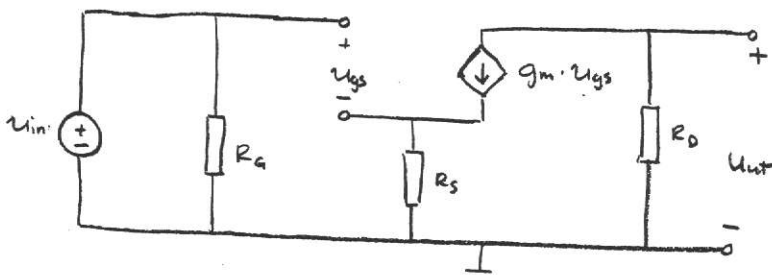
Numeriskt:

$(U_{gs1} = -2,42 \text{ V} \Rightarrow I_{D1} = 12 \text{ mA})$  transistoren strypt

$U_{gs2} = -0,413 \text{ V} \Rightarrow I_{D2} = 2,07 \text{ mA}$

$$g_m = \frac{\partial i_D}{\partial u_{gs}} = - \frac{2 I_{DSS}}{U_p} \left(1 - \frac{U_{gs}}{U_p}\right) = \dots = 7,04 \text{ mA/V}$$

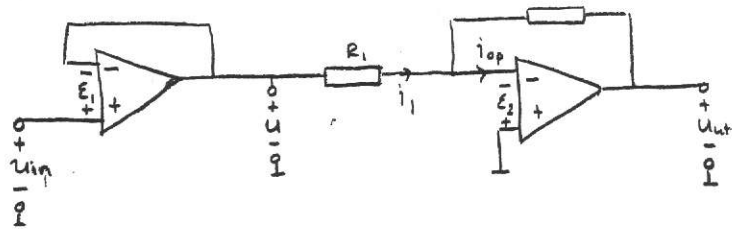
småsignalschema:



$$\begin{cases} u_{in} = u_{gs} + g_m u_{gs} R_s \\ u_{out} = -g_m u_{gs} R_D \end{cases}$$

$$\frac{u_{out}}{u_{in}} = - \frac{g_m R_D}{1 + g_m R_s}$$

A2



ideala. op. först. }  $\epsilon_1 = \epsilon_2 = 0$   
neg återk.

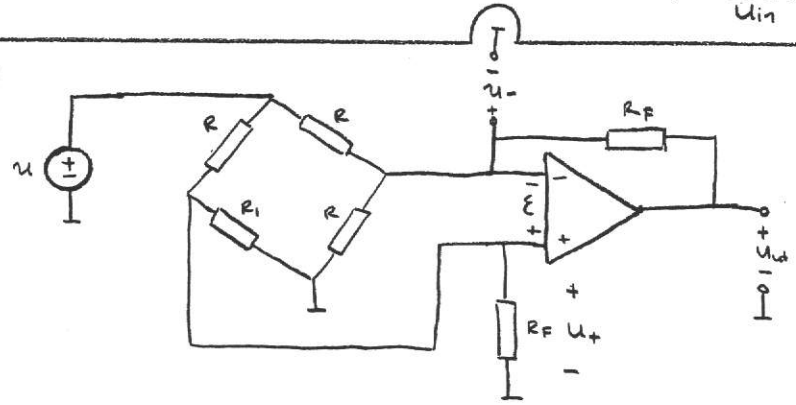
$$u = u_{in} \quad \text{ty } \epsilon_1 = 0$$

$$i_{op} = 0 \quad R_i = \infty$$

$$i_1 + i_2 = 0 \Leftrightarrow \frac{u}{R_1} + \frac{u_{out}}{R_2} = 0$$

$$\Rightarrow \frac{u_{out}}{u_{in}} = \frac{u_{out}}{u} = -\frac{R_2}{R_1}$$

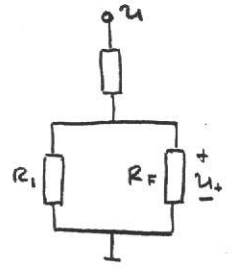
A5



$R_1 = R + \Delta R$   
ideala. op. först. }  $\epsilon = 0$   
neg. återk.

Beräkna  $u_{out} = f(\Delta R)$

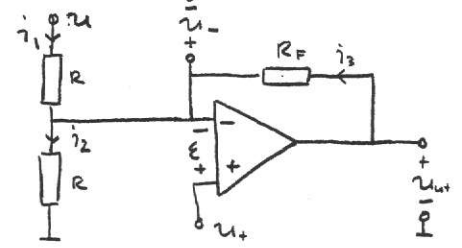
Beräkna  $u_+$



spänningsdelning:

$$u_+ = u \frac{R_i // R_F}{R + R_i // R_F} = \dots = u \frac{R_i R_F}{R(R_i + R_F) + R_i R_F}$$

Beräkna  $u_-$



$$i_3 = \frac{u_{out} - u_-}{R_F}$$

$$i_2 = \frac{u_-}{R}$$

$$i_1 = \frac{u_+ - u_-}{R}$$

$$i_1 - i_2 = -i_3 \Leftrightarrow \frac{u_+ - u_-}{R} - \frac{u_-}{R} = -\frac{u_{out} - u_-}{R_F}$$

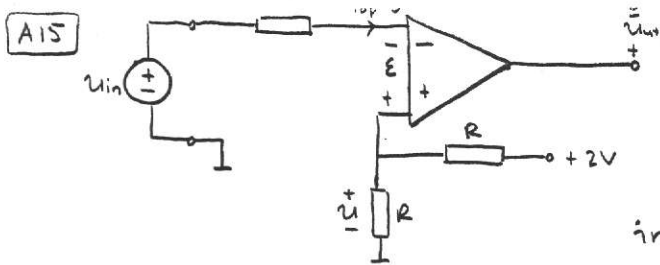
$$\Rightarrow \frac{u_{out}}{R_F} = u_- \left( \frac{2}{R} + \frac{1}{R_F} \right) - \frac{u_+}{R} \quad \text{men } u_- = u_+ \quad \text{ty } \epsilon = 0$$

$$\frac{u_{out}}{R_F} = u \left[ \frac{R_i R_F}{R(R_i + R_F) + R_i R_F} \cdot \frac{2R_F + R}{R_F} - \frac{1}{R} \right] = \dots = u R_F \frac{R_i R_F - R R_F}{R(R_i + R_F(R + R_i))}$$

$$= \{ R_i = R + \Delta R \} = u R_F^2 \cdot \frac{R + \Delta R - R}{R [ \underbrace{R(R + \Delta R)}_{\text{skippa}} + R_F(2R + \Delta R) ]}$$

$R_F \gg R, R \gg \Delta R$

$$\Rightarrow u_{out} \approx u \frac{R_F}{2R^2} \Delta R$$



$$R_1 = R = 1 \text{ k}\Omega$$

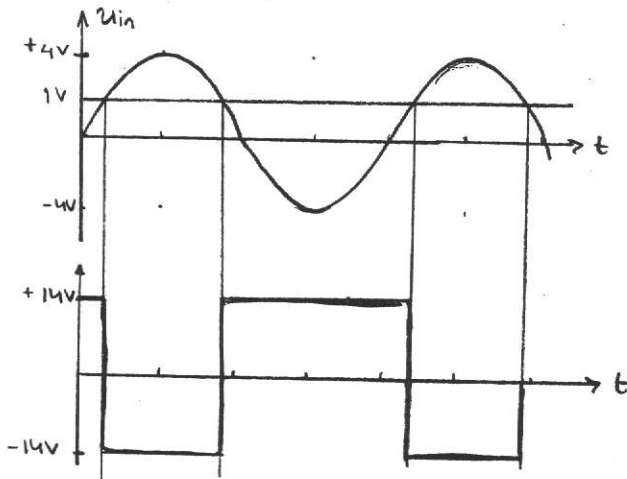
ideal op. först.  $F = \infty$

utstyringsomr.  $\pm E = \pm 14 \text{ V}$

ingen återkoppling  $\Rightarrow \epsilon \neq 0$

$$\begin{cases} \epsilon = u - u_{in} \\ u = 2 \frac{R}{R+R} = 1 \text{ V} \end{cases} \quad u_{ut} = \epsilon F$$

Utgången ( $u_{ut}$ ) kommer att vara antingen  $+14 \text{ V}$  eller  $-14 \text{ V}$  beroende på om  $\epsilon$  är större eller mindre än 0.



$$\epsilon > 0 \quad u_{in} < u = 1 \text{ V}$$

$$\epsilon < 0 \quad u_{in} > u = 1 \text{ V}$$

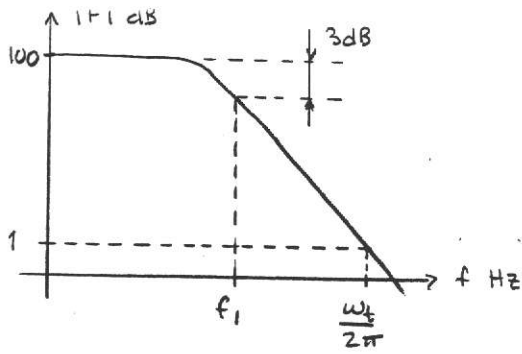
### Verklig operationsförstärkare

Typiska data	741	356
ingångssteg	bipolära	JFET
spännings först. $\neq \infty$	$2 \cdot 10^5$	$2 \cdot 10^5$
bandbredd $\neq \infty$	3 Hz	
CMRR $\neq \infty$	90 dB	
inimpedans $\neq \infty$	2 M $\Omega$	1 T $\Omega$
utimpedans $\neq 0$	75 $\Omega$	
temperaturberoende		

öppna förstärkningen:

- 1) hög, men begränsad
- 2) avtar med ökad frekvens
- 3) frekvenskaraktistik kännetecknas av en dominant pol

$$F = \frac{F_0}{1 + j \frac{\omega}{\omega_1}} = \frac{F_0}{1 + j \frac{f}{f_1}}$$



$F_0$ : max. först.

$f_1$ : "brytfrekvens"  
3dB-frekvens  
bandbredd

$$\omega = 2\pi f$$

$$\omega \gg \omega_1 \Rightarrow |F| \approx \frac{F_0 \omega_1}{\omega}$$

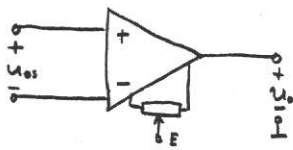
$$|F(\omega)| \cdot \omega = F_0 \omega_1 = \text{konst.}$$

$\omega_t$  = unity gain bandwidth

$$\omega = \omega_t \text{ för } |F(\omega_t)| = 1$$

$$1 \cdot \omega_t = F_0 \omega_1$$

### Input offset voltage

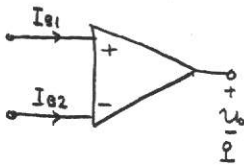


Den spänning  $U_{os}$  som krävs för att justera  $u_o$  till 0V.

### Input offset voltage drift

$$\frac{\Delta U_{os}}{\Delta T} \text{ Temperaturberoende hos } U_{os} \text{ (741 typiskt } 15 \mu\text{V}/^\circ\text{C)}$$

### Input bias current $I_B$



$$I_B = \frac{I_{i1} + I_{i2}}{2} \Big|_{U_o=0} \text{ , dvs den ström som krävs}$$

för att ingångsstegets transistorer skall fungera (ligga i sin arbetspunkt).

### Input offset current

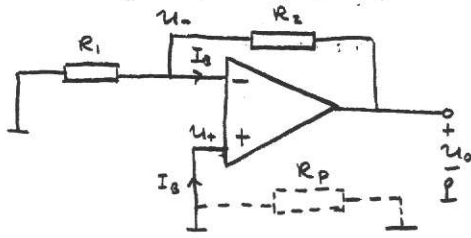
$$I_{os} = |I_{i1} - I_{i2}|_{U_o=0}$$

Typiska värden 741:  $I_B \approx 80 \text{ nA}$

356:  $I_B \approx 30 \text{ pA}$

Exempel: Antag ideal op. först. map. Input offset voltage och Input offset current.

( $u_0 = 0$  då  $u_+ = u_-$  samt  $I_0 = I_{B1} = I_{B2}$ )



$F = \infty$   
neg. återk. }  $i_E = 0$

$I_0$  måste gå igenom  $R_2$ .

$$u_0 = I_0 \cdot R_2$$

Utspänningen  $u_0$  blir "biaserad" beroende på  $I_0$ .

Hur kan vi undanröja detta problem?

Inför ett motstånd ( $R_P$ ) vid + ingången.

$$\begin{cases} u_+ = -I_0 R_P = u_- \\ I_{R1} = \frac{u_-}{R_1} = \frac{-I_0 R_P}{R_1} \end{cases}$$

$$u_0 = R_2(I_0 + I_{R1}) + u_+ = R_2(I_0 - \frac{I_0 R_P}{R_1}) - I_0 R_P = I_0(R_2 - \frac{R_2 R_P}{R_1} - R_P) = 0$$

$$R_2 = (\frac{R_2}{R_1} + 1) R_P$$

$$R_P = \frac{R_1 R_2}{R_1 + R_2}$$

För att erhålla  $u_0 = 0$  (då  $u_{in} = 0$ ) måste  $R_P = R_1 // R_2$

Slew Rate (SR) = maximala ändringshastigheten hos op. först. utsignal ("stora signaler").

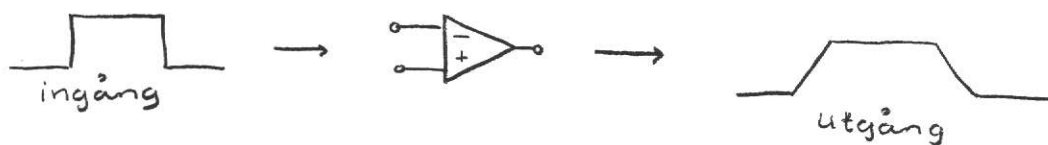
Uttrycks vanligen i V/μs (741: typiskt värde 0,1-1 V/μs)

$$SR = \left. \frac{du_0}{dt} \right|_{max}$$

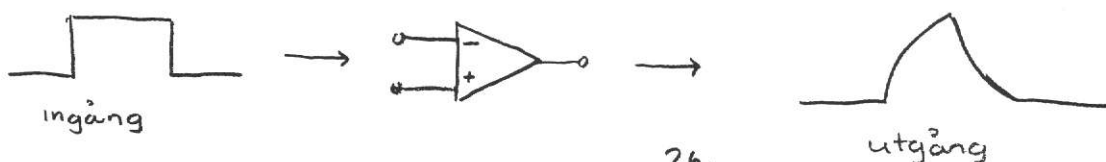
Orsaken till SR är att ingångssteget bottnar och då kommer den sk. "dominantpolskondensatorn" att laddas med en konstant ström  $I_C = \frac{I_t}{c}$ .

Detta fenomen är inte lika med begränsad bandbredd.

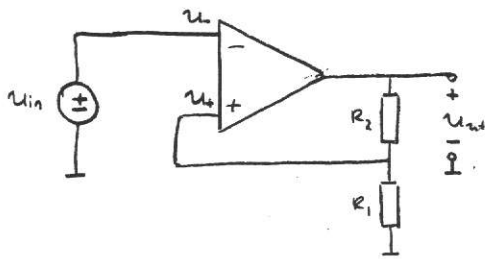
Slew Rate:



Begränsad bandbredd:



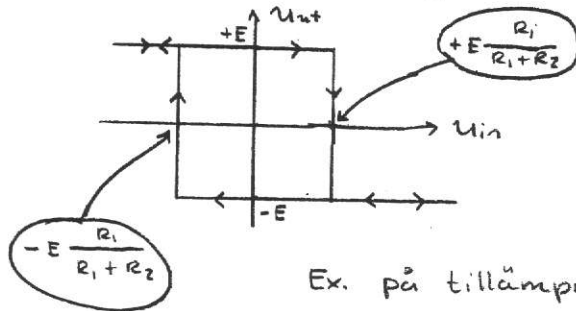
# Icke-linjära tillämpningar (ej neg. återk.) med ideal op. först.



OBS! Ej neg. återk. ( $\epsilon \neq 0$ )  
 Utstyringsområde  $\pm E$ . Annars ideal op.

- ① Antag  $u_{in} < u_+$  ( $\epsilon > 0$ )  $\Rightarrow u_{out} = +E$  och  $u_+ = u_{out} \frac{R_1}{R_1 + R_2}$  (stabilit läge)
- ② Öka  $u_{in}$ . Då  $u_{in} = E \frac{R_1}{R_1 + R_2}$  blir  $\epsilon < 0$  och vi får omslag.  
 $u_{out} = -E$  och  $u_+ = -E \frac{R_1}{R_1 + R_2}$   
 $\therefore u_{in} > -E \frac{R_1}{R_1 + R_2}$  och  $u_{out} = -E$  (nytt stabilt läge)
- ③ Minska  $u_{in}$ .  
 Då  $u_{in} = u_+ = -E \frac{R_1}{R_1 + R_2}$  sker omslag igen ( $\epsilon > 0$ ) och  $u_{out} = +E$   
 samt  $u_+ = E \frac{R_1}{R_1 + R_2}$ . Vi är åter i läge ①.

Denna krets kallas Schmitt-trigger.



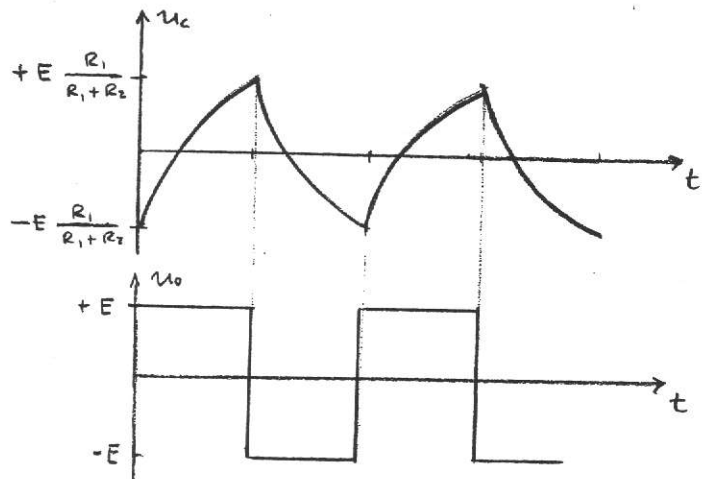
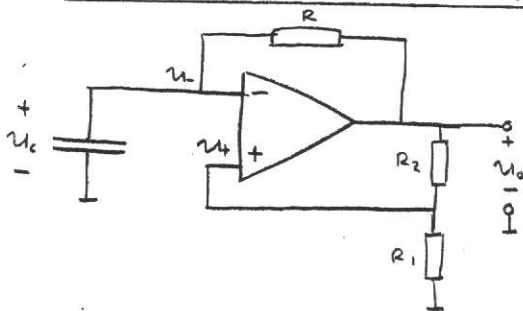
Hysteres:

Omslag då  $u_{in} = \pm E \frac{R_1}{R_1 + R_2}$

Ex. på tillämpning:

Detektering av pulser överförda via lång brusig ledning.

## Astabil multivibrator med Schmitt-trigger



$$u_{out} = \pm E$$

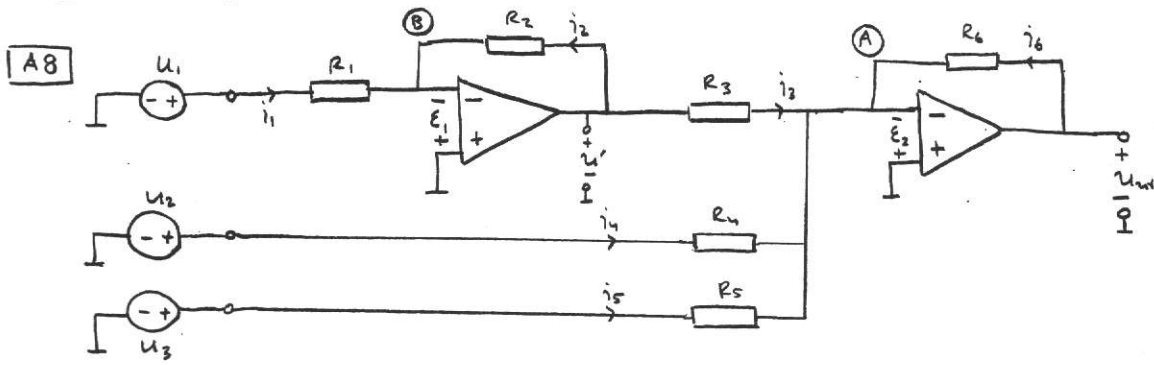
$$u_+ = \pm E \frac{R_1}{R_1 + R_2}$$

Kondensatorn laddas via resistansen  $\tau = RC$ .

Omslag då  $u_c = u_+$



Op. först. fler applikationer



$$F = \infty \quad \text{neg. återk.} \quad \left. \vphantom{F = \infty} \right\} \varepsilon = \varepsilon_1 = \varepsilon_2 = 0$$

strömsummering i (A):

$$i_3 + i_4 + i_5 = -i_6 \iff \frac{u'}{R_3} + \frac{u_2}{R_4} + \frac{u_3}{R_5} = -\frac{u_{\text{ut}}}{R_6}$$

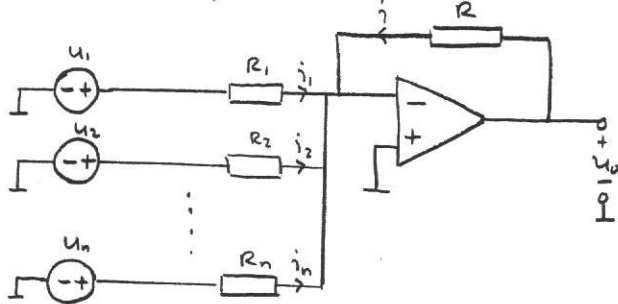
strömsummering i (B):

$$i_1 + i_2 = 0 \iff \frac{u_1}{R_1} + \frac{u'}{R_2} = 0 \implies u' = -u_1 \frac{R_2}{R_1}$$

$$-u_1 \frac{R_2 R_6}{R_3 R_1} + u_2 \frac{R_6}{R_4} + u_3 \frac{R_6}{R_5} = -u_{\text{ut}}$$

$$u_{\text{ut}} = u_1 \frac{R_2 R_6}{R_3 R_1} - u_2 \frac{R_6}{R_4} - u_3 \frac{R_6}{R_5} = \{ \text{numeriskt} \} = 6u_1 - 4u_2 - 1,5u_3$$

Allmänt:



strömsummering:

$$i_1 + i_2 + \dots + i_n = -i$$

$$\frac{u_1}{R_1} + \frac{u_2}{R_2} + \dots + \frac{u_n}{R_n} = -\frac{u_0}{R}$$

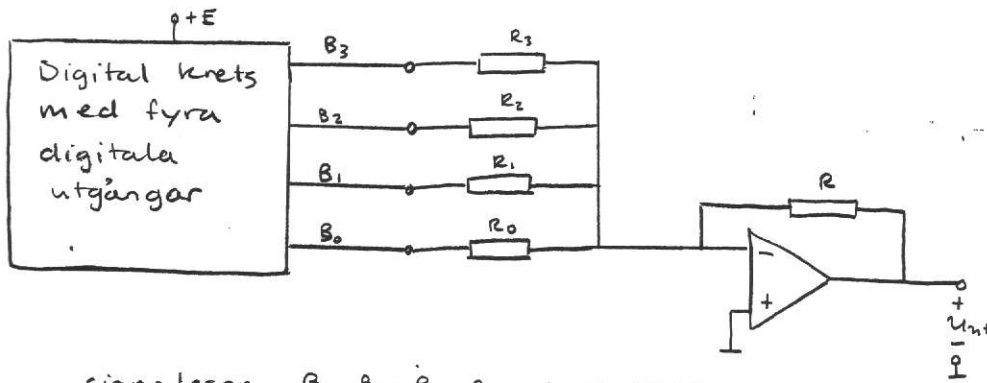
$$u_0 = -\left( u_1 \frac{R}{R_1} + u_2 \frac{R}{R_2} + \dots + u_n \frac{R}{R_n} \right)$$

summerator!

$u_0$  = summa av delbidrag från olika oberoende källor med godtyckliga variationer

# Exempel på summator

D/A omvandlare



signalerna  $B_0, B_1, B_2, B_3$  kan vara  
 0V (låg) "nolla"  
 1V (hög) "etta"

ideal op. först.

$$U_{ut} = -R \left( \frac{B_3}{R_3} + \frac{B_2}{R_2} + \frac{B_1}{R_1} + \frac{B_0}{R_0} \right)$$

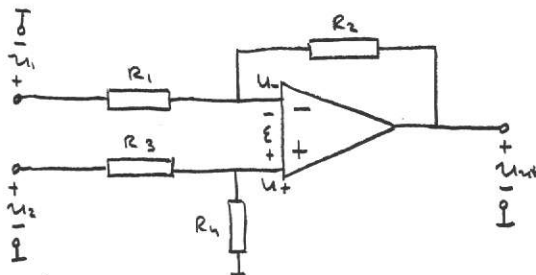
Med  $R_0 = R, R_1 = R/2, R_2 = R/4, R_3 = R/8$

$$U_{ut} = -(8B_3 + 4B_2 + 2B_1 + B_0)$$

Utspänningen  $U_{ut}$  prop. mot det binära talet  $B_3 B_2 B_1 B_0$

## Instrumentförst.

(Förstärker skillnaden mellan två signaler,  $u_1$  och  $u_2$ )



ideal op. först.

$$\left. \begin{array}{l} F = \infty \\ \text{neg. återk.} \end{array} \right\} \epsilon = 0 \Rightarrow u_- = u_+$$

$$R_i = \infty \Rightarrow i_{op} = 0$$

$$\begin{cases} u_+ = u_2 \frac{R_4}{R_3 + R_4} \\ \frac{u_1 - u_-}{R_1} + \frac{u_{ut} - u_-}{R_2} = 0 \\ u_- = u_+ \end{cases}$$

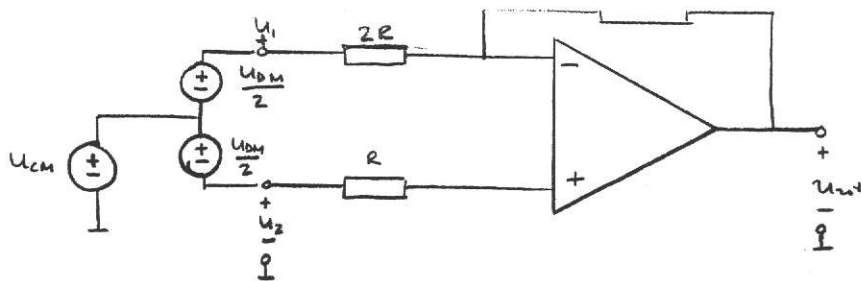
$$\frac{u_1}{R_1} - \frac{u_2}{R_1} \cdot \frac{R_4}{R_3 + R_4} = -\frac{U_{ut}}{R_2} + \frac{u_2}{R_2} \cdot \frac{R_4}{R_3 + R_4}$$

$$U_{ut} = u_2 \left[ \frac{R_4}{R_3 + R_4} \left( \frac{R_2}{R_1} + 1 \right) \right] - u_1 \frac{R_2}{R_1}$$

Välj  $R_1 = R_3$  och  $R_2 = R_4$

$$\text{ger } U_{ut} = \frac{R_3}{R_1} (u_2 - u_1)$$

A7



$$\text{CMRR} = \left| \frac{F_{DM}}{F_{CM}} \right|$$

$$F_{DM} = \frac{U_{\text{ut,DM}}}{U_{DM}}$$

$$F_{CM} = \frac{U_{\text{ut,CM}}}{U_{CM}}$$

ideal op. först. }  $\epsilon = 0$   
neg. återk. }

Bestäm  $U_{\text{ut}} = f(u_1, u_2)$

$$u = u_2 \frac{R}{R+R} = \frac{u_2}{2} \quad (\text{spänningsdelning}) \quad (1)$$

$$\frac{u_1 - u}{2R} + \frac{U_{\text{ut}} - u}{20R} = 0 \quad (\text{strömsummering}) \quad (2)$$

$$(2) \quad 10u_1 - 10u + U_{\text{ut}} - u = 0$$

$$U_{\text{ut}} = 11u - 10u_1 = \frac{11}{2}u_2 - 10u_1$$

$$\underline{F_{DM}} : \quad U_{CM} = 0, \quad u_1 = -u_2$$

$$U_{\text{ut,DM}} = \frac{11}{2} \left( -\frac{U_{DM}}{2} \right) - 10 \frac{U_{DM}}{2} = -\frac{31}{4} U_{DM}$$

$$F_{DM} = \frac{U_{\text{ut,DM}}}{U_{DM}} = -\frac{31}{4}$$

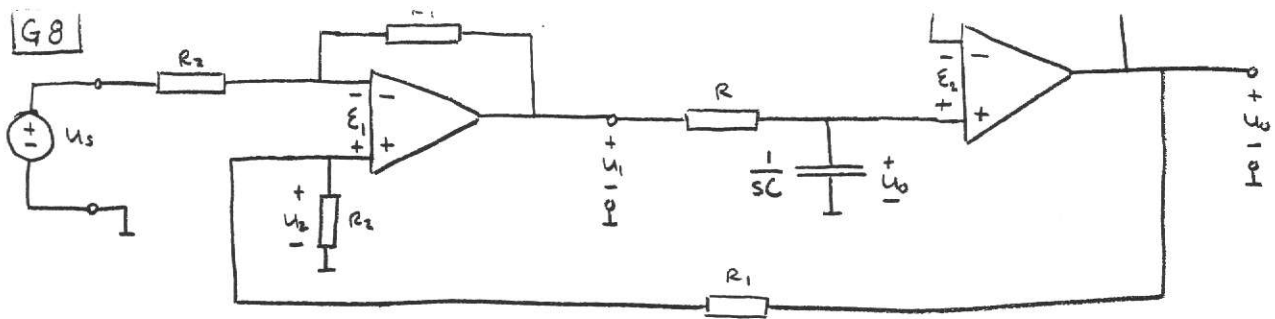
$$\underline{F_{CM}} : \quad U_{DM} = 0$$

$$u_1 = u_2 = U_{CM}$$

$$U_{\text{ut,CM}} = \frac{11}{2} U_{CM} - 10 U_{CM} = -\frac{9}{2} U_{CM}$$

$$F_{CM} = \frac{U_{\text{ut,CM}}}{U_{CM}} = -\frac{9}{2}$$

$$\text{CMRR} = \left| \frac{F_{DM}}{F_{CM}} \right| = \frac{31/4}{9/2} = \frac{31}{18} \quad (\text{lägt värde})$$



Beräkna överföringsfunktionen  $H(s) = \frac{U_0}{U_s}$   
 ideala op.först. }  $\epsilon_1 = \epsilon_2 = 0$   
 neg. återk.

$$R_i = \infty \Rightarrow i_{op} = 0$$

$$U_2 = U_0 \frac{R_2}{R_1 + R_2}$$

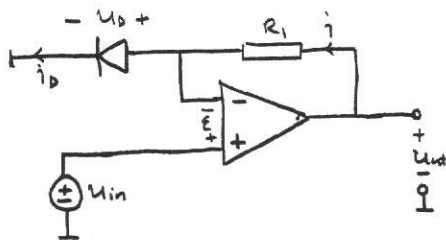
$$U_0 = U_1 \frac{1/sC}{R + 1/sC} = \frac{U_1}{1 + sRC} \Rightarrow U_1 = U_0(1 + sRC)$$

$$\frac{U_s - U_2}{R_2} + \frac{U_1 - U_2}{R_1} = 0 \Rightarrow \frac{U_s}{U_2} = U_2 \left( \frac{1}{R_1} + \frac{1}{R_2} \right) - \frac{U_1}{R_1}$$

$$U_s = U_2 \frac{R_1 + R_2}{R_1} - \frac{R_2}{R_1} U_1 = U_0 \frac{R_2}{R_1 + R_2} \cdot \frac{R_1 + R_2}{R_1} - \frac{R_2}{R_1} U_0(1 + sRC) = -U_0 \frac{R_2}{R_1} sRC$$

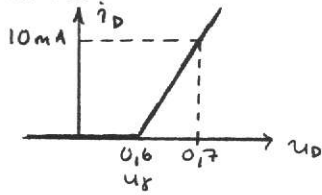
$$\frac{U_0}{U_s} = -\frac{R_1}{sR_2RC} \quad \text{integrator!}$$

38

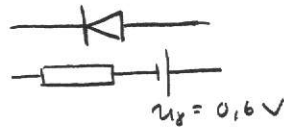


ideal op.först. }  $\epsilon = 0$   
neg. återk. }

diödkarakteristik (styckvis linjär modell):



modell då  $u_D > u_g$



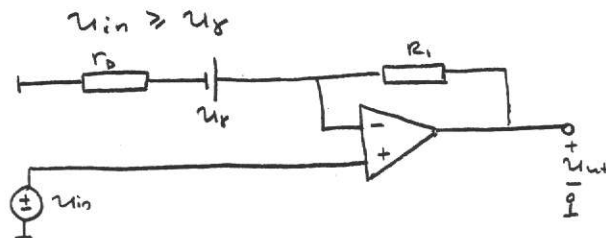
$$r_D = \frac{0,7 - 0,6}{0,01 - 0} = 10 \Omega$$

Fall ①: Diöd spärrad

$$u_D < u_g \Rightarrow i_D = 0 \text{ men } u_D = u_{in}$$

$$u_{in} < u_g \Rightarrow i_D = i = 0 \text{ och } u_{out} = u_{in}$$

Fall ②: Diöd leder



$$\begin{cases} i = i_D & (1) \\ u_{out} = R_1 \cdot i + u_{in} & (2) \\ u_{in} = u_g + i_D r_D & (3) \end{cases}$$

$$(3) \quad i_D = \frac{u_{in} - u_g}{r_D}$$

$$(2) \quad i = i_D = \frac{u_{out} - u_{in}}{R_1}$$

$$\frac{u_{in} - u_g}{r_D} = \frac{u_{out} - u_{in}}{R_1}$$

$$\frac{u_{in}}{r_D} + \frac{u_{in}}{R_1} - \frac{u_g}{r_D} = \frac{u_{out}}{R_1}$$

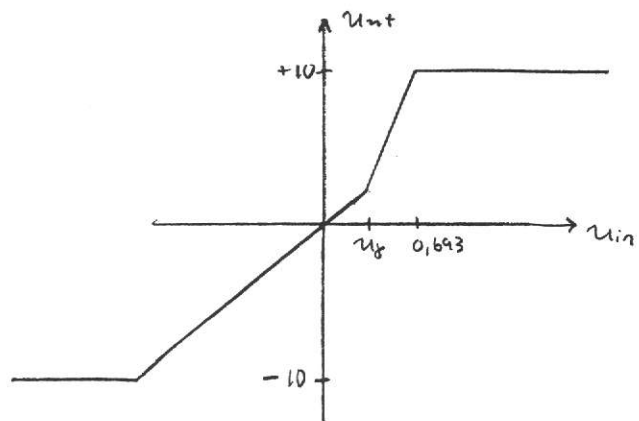
$$u_{out} = u_{in} \left( \frac{R_1}{r_D} + 1 \right) - u_g \frac{R_1}{r_D} = 101 u_{in} - 60$$

När bottenar utsignalen?

( $\because u_{out} = 10V$  för  $u_{in} = u'$ )

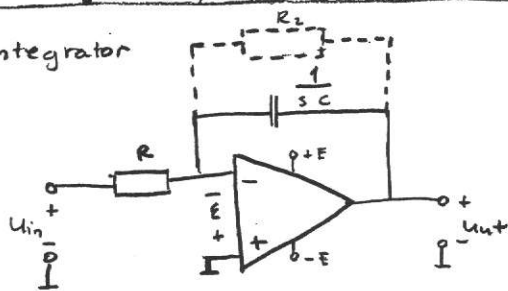
$$10 = 101 u' - 60$$

$$u' = \frac{10 + 60}{101} \approx 0,643V$$



# Första ordningens system-egenskaper i frekvensplanet

ideal integrator



ideal op.-först. } E=0  
neg. återk.

summera strömmar

$$\frac{U_{in}}{R} + \frac{U_{ut}}{\frac{1}{sC}} = 0$$

$$\frac{U_{ut}}{U_{in}} = -\frac{1}{sRC}$$

$$U_{ut} = -\frac{1}{sRC} U_{in}$$

inv. transf.  $\Rightarrow U_{ut}(t) = -\frac{1}{RC} \int_0^t U_{in}(t') dt' + U_0$

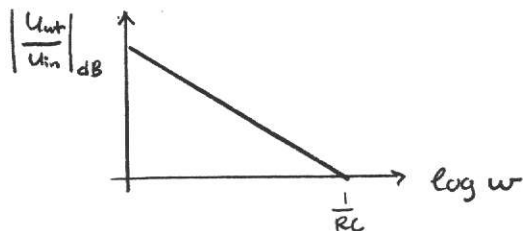
olämplig koppling med "verklig" operationsförstärkare.

Bias (dc) strömmar kommer att ladda upp kondensatorn C, och  $U_{ut}$  driver mot E.

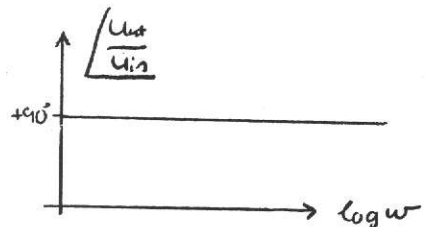
Användbar integrator: Lägg till  $R_2$  (se fig ovan)

$$s = j\omega$$

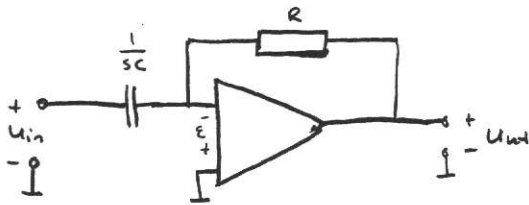
$$\frac{U_{ut}}{U_{in}} \Big|_{s=j\omega} = -\frac{1}{j\omega RC} = \frac{j}{\omega RC}$$



$$\angle \frac{U_{ut}}{U_{in}} = +90^\circ \Rightarrow$$



## Ideal derivator



$$\varepsilon = 0$$

summera strömmar

$$\frac{U_{in}}{\frac{1}{sC}} + \frac{U_{out}}{R} = 0$$

$$\frac{U_{out}}{U_{in}} = -sRC$$

invers transform  $\Rightarrow$

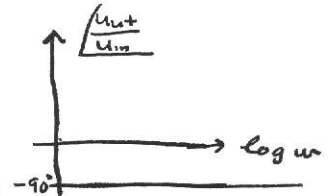
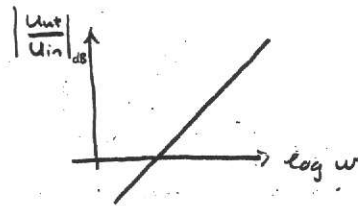
$$U_{out}(t) = -RC \frac{dU_{in}(t)}{dt}$$

Frekvens egenskaper

$$s = j\omega$$

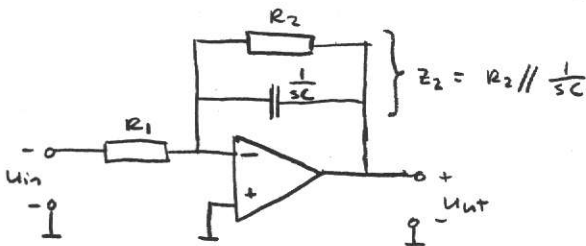
$$\left. \frac{U_{out}}{U_{in}} \right|_{s=j\omega} = -j\omega RC$$

$$\left| \frac{U_{out}}{U_{in}} \right| = \omega RC \quad \angle \frac{U_{out}}{U_{in}} = -90^\circ$$



## Första ordningens lågpasfilter

(samma krets som "användbar" integrator)



summera strömmar:  $\frac{U_{in}}{R_1} + \frac{U_{out}}{Z_2} = 0$

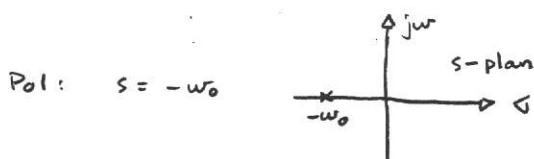
$$\frac{U_{out}}{U_{in}} = -\frac{R_2}{R_1} \cdot \frac{1}{1 + sR_2C} = G(s)$$

En pol i  $s = -\frac{1}{R_2C}$

Låt oss titta på det allmänna uttrycket

$$G(s) = \frac{K}{1 + \frac{s}{\omega_0}}$$

$$G(j\omega) = \frac{K}{1 + j\frac{\omega}{\omega_0}}$$

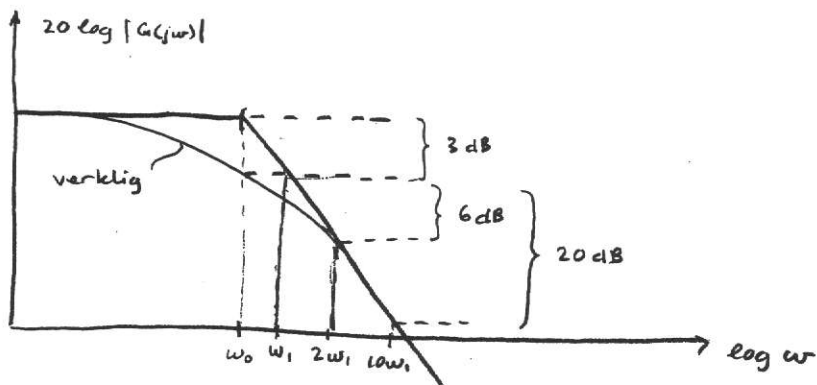


$\omega_0$  är brytvinkel frekvens till  $G(j\omega)$  [ här också 3dB-frekvens ]

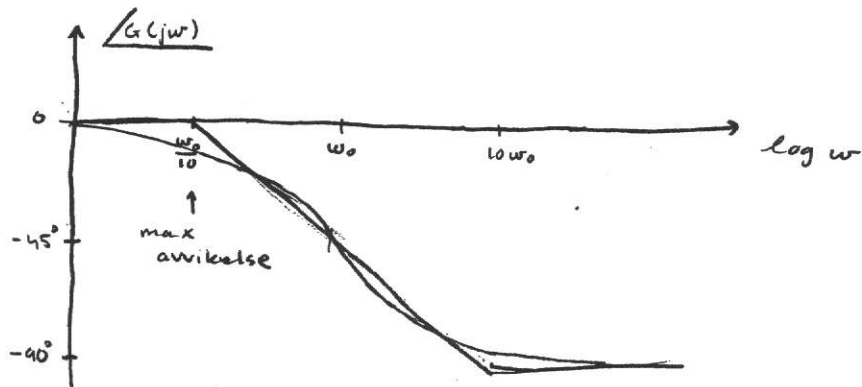
$$\frac{|G(j\omega_0)|}{|G(j\omega)|_{\max}} = \frac{1}{\sqrt{2}} \triangleq -3\text{dB}$$

Bodediagram : Belopp  $|G(j\omega)| = \frac{K}{\sqrt{1 + (\frac{\omega}{\omega_0})^2}}$

Fas  $\angle G(j\omega) = -\arctan\left(\frac{\omega}{\omega_0}\right)$



Fasdiagram



### Första ordn. lågpassfilter

Bodediagram

$\omega \rightarrow 0 : |G(j\omega)| = K$  ,  $\angle G(j\omega) = 0$  asymptot 1

$\omega \gg \omega_0 : |G(j\omega)| = \frac{K\omega_0}{\omega}$  ,  $\angle G(j\omega) = -90^\circ$  asymptot 2

$\omega = \omega_0 : |G(j\omega)| = \frac{K}{\sqrt{2}}$  ,  $\angle G(j\omega) = -45^\circ$   
(brytvinkel)

$\omega_1 \gg \omega_0 : 20 \log \left| \frac{G(j\omega_1)}{G(j2\omega_1)} \right| = 20 \log \frac{2\omega_1}{\omega_1} = 6\text{dB}$  (lutning  $-6\text{dB/oktav}$ )

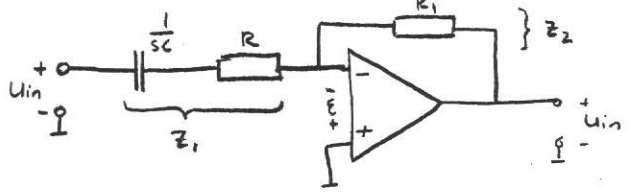
$20 \log \left| \frac{G(j\omega_1)}{G(j10\omega_1)} \right| = 20 \log \frac{10\omega_1}{\omega_1} = 20\text{dB}$  (lutning  $-20\text{dB/oktav}$ )

brytfrekvens ( $\omega = \omega_0$ )

$20 \log \left| \frac{K}{\sqrt{1+1}} \right| = 20 \log \frac{|K|}{\sqrt{2}} = 20 \log |K| - \overbrace{20 \log \sqrt{2}}^{3\text{dB}}$



Första ordningens högpasfilter - exempel på realisering



ideal op.-först. } ⇒ E=0  
neg. återkoppling }

Summera strömmar

$$\frac{U_{in}}{Z_1} + \frac{U_{ut}}{Z_2} = 0$$

$$\frac{U_{ut}}{U_{in}} = -\frac{Z_2}{Z_1} = -\frac{R_1}{R + \frac{1}{sC}} = -\frac{R_1}{R} \frac{s}{s + 1/RC}$$

På allmän form:

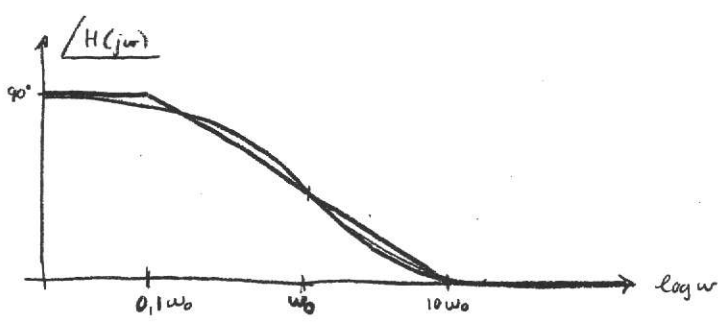
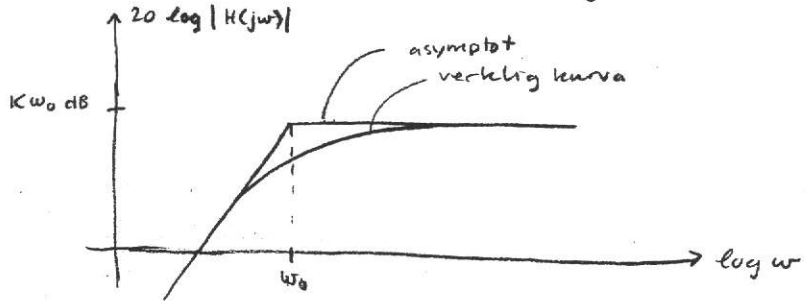
$$H(s) = \frac{Ks}{1 + \frac{s}{\omega_0}} = \frac{\text{"nollställe i origo"}}{\text{"pol i } s = -\omega_0 \text{"}}$$

$$H(j\omega) = \frac{Kj\omega}{1 + j\frac{\omega}{\omega_0}} = \frac{K\omega_0}{1 - j\frac{\omega_0}{\omega}}$$

Belopp:  $|H(j\omega)| = \frac{K\omega}{\sqrt{1 + (\frac{\omega}{\omega_0})^2}}$

Fas:  $\angle H(j\omega) = 90^\circ - \arctan(\frac{\omega}{\omega_0})$

Grafisk beskrivning (Bodediagram)



## Första ordningens högpasstiter

$$|H(j\omega)|_{\omega \rightarrow \infty} = K\omega_0 \text{ konstant (asymptot 1)}$$

$$|H(j\omega)|_{\omega \ll \omega_0} \approx K\omega \text{ (asymptot 2)}$$

$$|H(j\omega)|_{\omega = \omega_0} = \frac{K\omega_0}{\sqrt{2}} \cdot 20 \log(K\omega_0) - \underbrace{20 \log \sqrt{2}}_{3 \text{ dB}}$$

$$\angle G(j\omega)|_{\omega \rightarrow 0} = 90^\circ$$

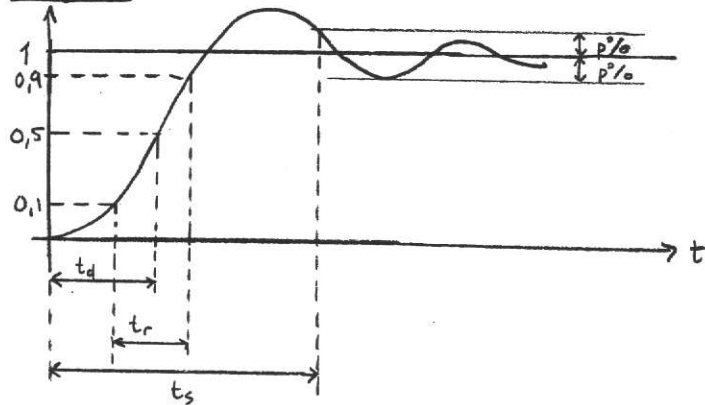
$$\angle G(j\omega)|_{\omega \rightarrow \infty} = 90^\circ - 90^\circ = 0$$

$$\angle G(j\omega)|_{\omega = \omega_0} = 90^\circ - 45^\circ = 45^\circ$$

## Förstärkarens egenskaper i tidsplanet



stegsvar:



$t_d$ : delay time (0 → 50%)

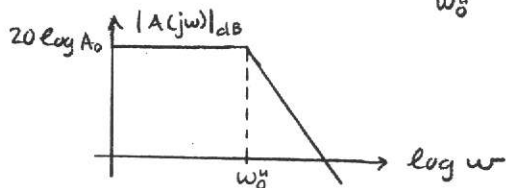
$t_r$ : rise time (10 → 90%)

$t_s$ : setting time

Den tid det tar för  $u_{out}$  att svänga in inom ett felband  $\pm p\%$  av slutvärdet

stigtid: studera en första ordningens lågpaslänk.

$$\frac{U_{out}(s)}{U_{in}(s)} = A(s) = \frac{A_0}{1 + \frac{s}{\omega_0}}, \text{ där tidskonstanten } \tau = 1/\omega_0$$



$$\omega_0 = 2\pi f_0 = \frac{1}{\tau}$$

Vad blir stegsvaret?

$$U_{in}(s) = \frac{1}{s}$$

$$\text{stegsvaret blir } U_{out}(s) = U_{in}(s) \cdot A(s) = \frac{A_0}{s\tau(s + \frac{1}{\tau})}$$

inverstransformera!

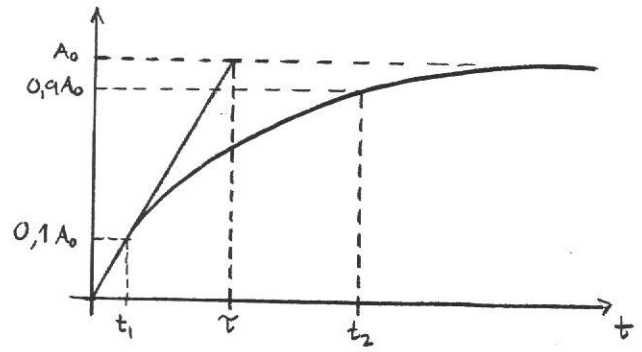
$$U_{out}(t) = A_0(1 - e^{-t/\tau})$$

stigtid  $t_r = t_2 - t_1$

$t_2: A_0 \cdot 0,9 = A_0(1 - e^{-t_2/\tau})$

$t_1: A_0 \cdot 0,1 = A_0(1 - e^{-t_1/\tau})$

$$\left. \begin{aligned} e^{-t_2/\tau} &= 0,1 \\ e^{-t_1/\tau} &= 0,9 \end{aligned} \right\} \begin{aligned} \frac{0,9}{0,1} &= \frac{e^{-t_1/\tau}}{e^{-t_2/\tau}} \\ \ln 9 &= \ln e^{-\frac{t_1+t_2}{\tau}} \\ t_r = t_2 - t_1 &= \tau \ln 9 \end{aligned}$$



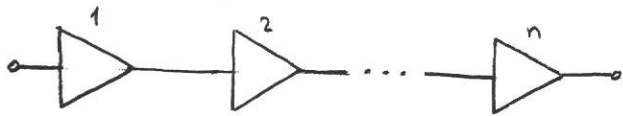
$$\left. \frac{dU_{ut}(t)}{dt} \right|_{t=0} = \frac{A_0}{\tau}$$

$t_r \approx 2,2\tau = \frac{2,2}{\omega_0} \approx \frac{0,35}{f_0}$

- $t_r$  ober. av  $A_0$
- $t_r$  direkt prop. mot  $\tau$ , dvs omvänt prop. mot övre gränshfrekvensen ( $\omega_0$ )
- Hög gränshfrekvens ger kort stigtid.

Kaskad av n st. lika första ordn. länkar

$A(j\omega) = \frac{A_0}{1 + j\frac{\omega}{\omega_1}}$  (en länk)



$G(j\omega) = [A(j\omega)]^n = \left[ \frac{A_0}{1 + j\frac{\omega}{\omega_1}} \right]^n$

$|G(j\omega_{\text{tot}})| = \frac{A_0^n}{\left( \sqrt{1 + \left( \frac{\omega_{\text{tot}}}{\omega_1} \right)^2} \right)^n} = \frac{A_0^n}{\sqrt{2}}$

$1 + \left( \frac{\omega_{\text{tot}}}{\omega_1} \right)^2 = 2^{1/n} \Rightarrow \omega_{\text{tot}} = \omega_1 \sqrt{2^{1/n} - 1}$

Om n ökar kommer  $\omega_{\text{tot}}$  att minska

$f_{\text{tot}} = f_1 \sqrt{2^{1/n} - 1}$

Man kan visa att följande gäller

$f_{\text{tot}} \cdot t_{r\text{tot}} \approx 0,35$

ober. av antalet steg som kaskadkopplas.

## Kaskad av n stycken olika första ordningens länkar

$$|A(j\omega)|_{\omega=\omega_{stot}} = \frac{A_0}{\sqrt{1 + \left(\frac{\omega_{stot}}{\omega_1}\right)^2}} \cdot \frac{A_0}{\sqrt{1 + \left(\frac{\omega_{stot}}{\omega_2}\right)^2}} \cdots \frac{A_0}{\sqrt{1 + \left(\frac{\omega_{stot}}{\omega_n}\right)^2}} = \frac{A_0^n}{\sqrt{2}}$$

Antag  $\frac{\omega_{stot}}{\omega_i} = \epsilon_i \ll 1$  osv, och  $\omega_1 \approx \omega_2 \approx \dots \approx \omega_n$ .

(Annars har vi en dominant pol)

Genom att serieutveckla  $\frac{1}{1+\epsilon_i^2} \cdot \frac{1}{1+\epsilon_i^2} \cdots \frac{1}{\epsilon_i^2}$  och försumma högre ordningens termer kan man visa att:

$$\frac{1}{\omega_{stot}} \approx 1,1 \sqrt{\frac{1}{\omega_1^2} + \frac{1}{\omega_2^2} + \dots + \frac{1}{\omega_n^2}}$$

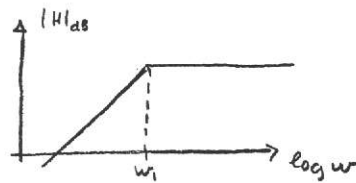
Genom att utnyttja  $f_1 \cdot t_{r1} = 0,35$  och  $f_{stot} \cdot t_{r_{stot}} \approx 0,35$  kan sambandet tecknas:

$$t_{r_{stot}} \approx 1,1 \sqrt{t_{r1}^2 + t_{r2}^2 + \dots + t_{rn}^2}$$

### Undre gränsvinkelfrekvens

ett steg:  $H(s) = \frac{sK}{1 + \frac{s}{\omega_1}} = \left\{ K = \frac{1}{\omega_1} \right\}$

$$H(j\omega) = \frac{j\frac{\omega}{\omega_1}}{1 + j\frac{\omega}{\omega_1}}$$



Sök 3-dB frekvens  $\omega = \omega_u$

$$\frac{\frac{\omega_u}{\omega_1}}{\sqrt{1 + \left(\frac{\omega_u}{\omega_1}\right)^2}} = \frac{1}{\sqrt{2}}$$

Skriv om:  $H(j\omega) = \frac{K}{1 - j\frac{\omega}{\omega_1}}$

Tag belopp:  $\frac{K}{\sqrt{1 + \left(\frac{\omega}{\omega_1}\right)^2}} = \frac{K}{\sqrt{2}}$

Brytvinkelfrekvens  $\omega_u = \omega_1$

∴ undre brytvinkelfrekvens

## Kaskad av n st. lika steg

Sätt  $K=1$

$$G(j\omega) = [H(j\omega)]^n$$

$$|G(j\omega_{\text{tot}})| = \left[ \frac{1}{\sqrt{1 + \left(\frac{\omega_1}{\omega_{\text{tot}}}\right)^2}} \right]^n = \frac{1}{\sqrt{2}}$$

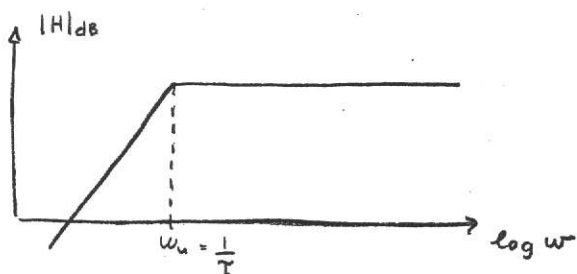
$$\left(\frac{\omega_1}{\omega_{\text{tot}}}\right)^2 + 1 = 2^{1/n}$$

$$\omega_1^2 = (2^{1/n} - 1) \cdot \omega_{\text{tot}}^2$$

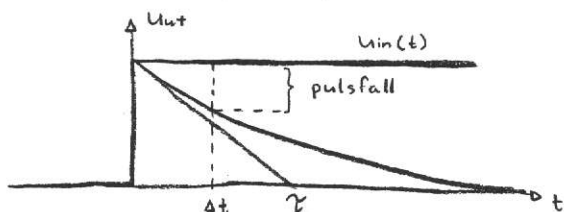
$$\omega_{\text{tot}} = \frac{\omega_1}{\sqrt{2^{1/n} - 1}}$$

## Pulsfall (speglar lågfrekvensgenskaper)

Ett steg:



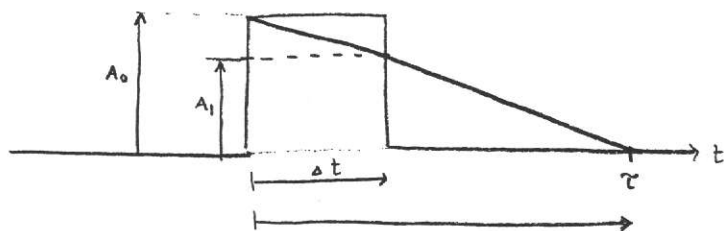
$$\left. \begin{aligned} \frac{U_{\text{ut}}(s)}{U_{\text{in}}(s)} &= \frac{s\tau}{1 + s\tau} \\ U_{\text{in}}(s) &= \frac{A_0}{s} \end{aligned} \right\} \text{stegsvar } U_{\text{ut}}(s) = \frac{A_0}{\frac{1}{\tau} + s} \quad \Leftrightarrow \quad U_{\text{ut}}(t) = A_0 e^{-t/\tau}$$



Om  $\Delta t \ll \tau$  kan vi anta att amplituden faller linjärt.

$$U_{\text{ut}} = A_0 \left(1 - \frac{t}{\tau}\right)$$

Om  $u_{\text{in}}$  en puls med duration  $\Delta t \ll \tau$



Pulsfall:  $A_0 - A_1$

$$\text{Relativt pulsfall: } P_{\text{rel}} = \frac{A_0 - A_1}{A_0} \cdot 100 \%$$

Geometri ger

$$\frac{\Delta t}{A_0 - A_1} = \frac{\tau}{A_0}$$

$$P_{\text{rel}} = \frac{\Delta t}{\tau} \cdot 100 \%$$

Vid en pol blir  $P_{rel} = \Delta t \cdot \omega_u \cdot 100 \% \quad (\omega_u = \frac{1}{\tau})$

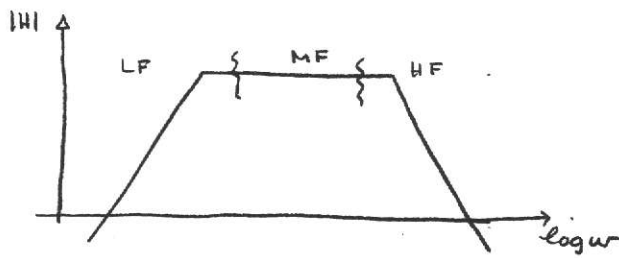
Litet pulsfall  $\Leftrightarrow$  Lågt  $\omega_u$

Vid kaskadkoppling av flera steg skall pulsfallen adderas enligt

$$P_{rel,tot} = P_{rel1} + P_{rel2} + \dots + P_{reln}$$

### Sammanfattning

Vår analys av stigtid och pulsfall förutsätter reella poler både vid låga (LF) och höga (HF) frekvenser samt däremellan ett mellanfrekvensområde (MF) med konstant förstärkning.



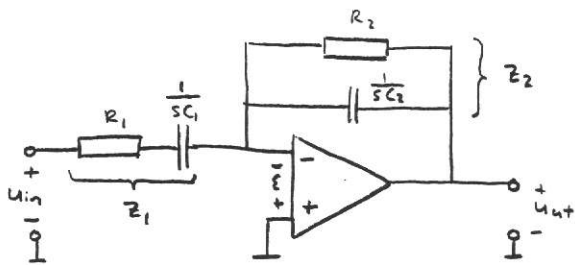
stigtid: Ett mått på HF-egenskaper

pulsfall: " " " LF - "

(Analysen gäller ej för imaginära poler)

Vi förutsätter också att  $f_0 \gg f_u$ .

G2



$$Z_1 = R_1 + \frac{1}{sC_1}$$

$$Z_2 = R_2 \parallel \frac{1}{sC_2}$$

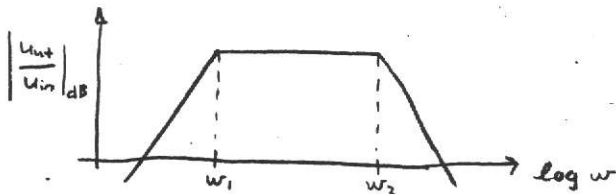
ideal op-först. }  $\epsilon = 0$   
neg. återk.

$$\sum i = 0 \Rightarrow \frac{u_{in}}{Z_1} + \frac{u_{ut}}{Z_2} = 0$$

$$\frac{u_{ut}}{u_{in}} = -\frac{Z_2}{Z_1} = -\frac{R_2}{R_1 + \frac{1}{sC_1}} = -\frac{R_2 s C_1}{(1 + s R_2 C_2)(1 + s R_1 C_1)} = \frac{-s R_2 C_1}{(1 + \frac{s}{\omega_1})(1 + \frac{s}{\omega_2})}$$

$$\omega_1 = \frac{1}{R_1 C_1} = \dots = 100 \text{ r/s}$$

$$\omega_2 = \frac{1}{R_2 C_2} = \dots = 66,7 \cdot 10^3 \text{ r/s}$$



Vi har väl separerade poler  $\omega_2 \gg \omega_1$

Stigtid: Ett steg:

$$t_r = \frac{0,35}{f_2} = \frac{2,2}{\omega_2}$$

Tre steg:

$$t_{rtot} = 1,1 \sqrt{3 \cdot t_r^2} = 1,1 \sqrt{3} \cdot \frac{2,2}{\omega_2} = 63 \mu\text{s}$$

Alternativt:

$$\omega_{rtot} = \omega_2 \sqrt{2^{1/3} - 1}$$

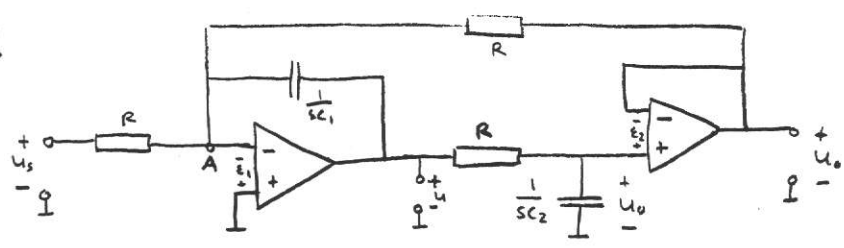
$$t_{rtot} \approx \frac{2,2}{\omega_{rtot}} = \frac{2,2}{\omega_2 \sqrt{2^{1/3} - 1}} = 65 \mu\text{s}$$

Puls fall

Ett steg  $P_1 = \Delta t \cdot \omega_1 \cdot 100\% = 0,5 \cdot 10^{-3} \cdot 100 \cdot 100\% = 5\%$

Tre steg  $P_{rtot} = 3 \cdot 5 = 15\%$

G9



ideala op-först. }  $\epsilon_1 = \epsilon_2 = 0$   
 neg. återk. }  
 $R_i = \infty \Rightarrow i_{op} = 0$

$$\sum_A i = 0 \Rightarrow \frac{U_s}{R} + \frac{U_0}{R} + U_s C_1 = 0 \Rightarrow U_s = -U_0 - U_s R C_1$$

$$U_0 = U \frac{\frac{1}{sC_2}}{R + \frac{1}{sC_2}} = \frac{U}{1 + sRC_2} \Rightarrow U = U_0(1 + sRC_2)$$

$$U_s = -U_0(1 + sRC_1 + s^2 R^2 C_1 C_2)$$

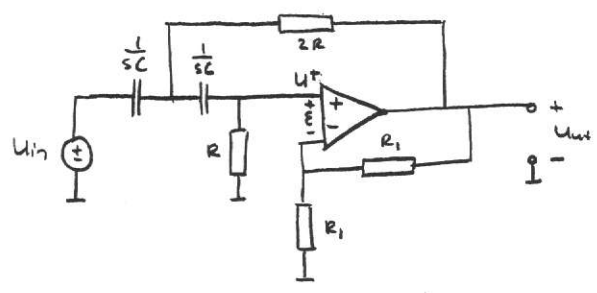
$$\frac{U_0}{U_s} = -\frac{1}{1 + sRC_1 + s^2 R^2 C_1 C_2} = -\frac{1/R^2 C_1 C_2}{s^2 + \frac{s}{RC_2} + \frac{1}{R^2 C_1 C_2}}$$

Poler:  $s_{1,2} = -\frac{1}{2RC_2} \pm \sqrt{\left(\frac{1}{2RC_2}\right)^2 - \frac{1}{R^2 C_1 C_2}}$

Ikke osc. stegsvar men så snabbt som möjligt  $\Rightarrow$  Dubbelpol.

$$\frac{1}{(2RC_2)^2} = \frac{1}{R^2 C_1 C_2} \Rightarrow C_2 = \frac{C_1}{4}$$

G15



$$U^+ = U_{out} \frac{R}{R+R_1}$$

$$\frac{U_{out}}{U^+} = \frac{R_1 + R}{R} = K$$

$\epsilon = 0$

$$\sum_A i = 0 \quad (U_{in} - U) sC + \frac{U_{out} - U}{2R} = \frac{U}{R + \frac{1}{sC}}$$

$$\frac{U_{out}}{K} = U \frac{R}{R + \frac{1}{sC}}$$

Härifrån fås överföringsfunktionen

$$\frac{U_{out}}{U_{in}} = \frac{s^2 (RC)^2 \cdot 2}{1 + sRC(5-K) + s^2 2(RC)^2}$$

Poler:  $s^2 + s \frac{5-K}{2RC} + \frac{1}{2R^2 C^2} = 0$

$$s_{1,2} = -\frac{(5-K)}{4RC} \pm \sqrt{\left(\frac{5-K}{4RC}\right)^2 - \frac{1}{2R^2 C^2}}$$

$$\frac{(5-K)^2}{16} - \frac{1}{2} \geq 0 \Rightarrow (5-K)^2 \geq 8 \Rightarrow (5-K) \geq \pm \sqrt{8}$$

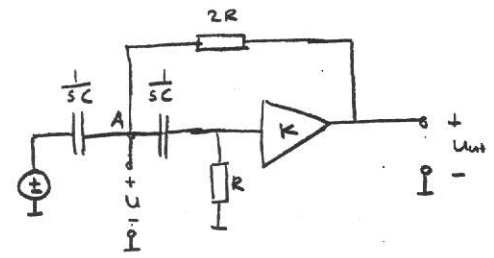
$5-K \geq 0$  annars poler i högra halvplanet (= instabilt)

$$5-K \geq \sqrt{8}$$

$$K \leq 5 - \sqrt{8}$$

$$K = \frac{R_1 + R}{R} = \frac{R_1}{R} + 1 \leq 5 - \sqrt{8}$$

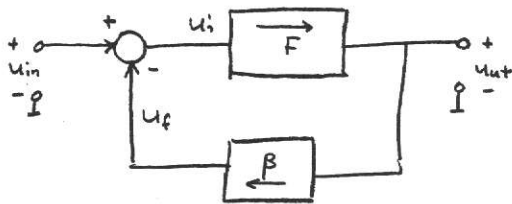
$$0 \leq R_1 \leq R(4 - \sqrt{8})$$





# Återkoppling

## Allmänna termer



Generellt blockschema för återkopplad förstärkare.

Antag att förstärkarna är unilaterala (signalöverföring sker endast i pilens riktning).

$$\begin{cases} U_{ut} = u_i \cdot F \\ u_i = u_{in} - U_f \\ U_f = U_{ut} \cdot \beta \end{cases} \quad U_{ut} = F(u_{in} - U_{ut} \cdot \beta) \Rightarrow \frac{U_{ut}}{u_{in}} = \frac{F}{1 + \beta F}$$

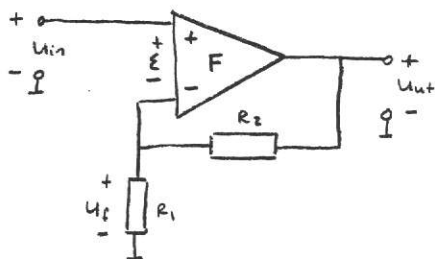
## Termer

$F_f = \frac{F}{1 + \beta F}$	slutna förstärkningen	(closed-loop gain)
$\beta = \frac{U_f}{U_{ut}}$	återkopplingsfaktor	(feedback-factor)
$F$	öppna förstärkningen	(open loop gain)
$1 + \beta F$	okänslighetsfaktor	(desensitivity factor)

Varför negativ återkoppling?

- Skräddarsy förstärkningen och bandbredd
- Skräddarsy in- och utimpedanser
- Förbättra noggrannheten i förstärkningen
- Reducera brus och icke-linjär distortion (i vissa fall)

Förstärkning och bandbredd



Antag  $R_i = \infty$   
 $R_o = 0$   
 $F \neq \infty$  (ej ideal)

kretsekv.

$$u_{in} = \varepsilon + u_f$$

$$u_{ut} = \varepsilon \cdot F$$

$$u_f = u_{ut} \frac{R_1}{R_1 + R_2}$$

$$U_{in} = \frac{U_{ut}}{F} + U_{ut} \frac{R_1}{R_1 + R_2} = U_{ut} \frac{R_1 + R_2 + FR_1}{F(R_1 + R_2)}$$

$$\frac{U_{ut}}{U_{in}} = \frac{F(R_1 + R_2)}{R_1 + R_2 + FR_1} = \frac{F}{1 + \frac{R_1}{R_1 + R_2} F}$$

I vårt exempel är  $\beta = \frac{R_1}{R_1 + R_2}$

$$F_f = \frac{F}{1 + \beta F}$$

om  $\beta F = \frac{R_1}{R_1 + R_2} \cdot F \gg 1$  blir  $F_f = \frac{U_{ut}}{U_{in}} \approx \frac{1}{\beta} = \frac{R_1 + R_2}{R_1}$   
(som för en ideal op-först.)

Stärkare återkoppling  $\Rightarrow \beta$  ökar  $\Rightarrow \frac{U_{ut}}{U_{in}}$  minskar

### Bandbredd

Antag att vi har en förstärkare med en pol enligt

$$F = \frac{F_0}{1 + \frac{s}{\omega_1}} \quad ; \quad \omega_1 \text{ övre gränsvinkelfrekvens.}$$

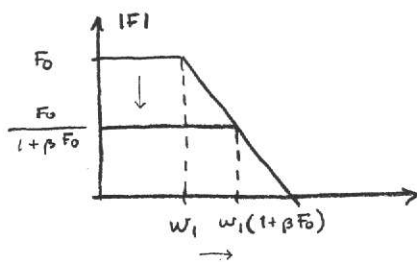
Återkoppla negativt.

Substituera förstärkningsuttrycket i den allmänna formeln för en återkopplad förstärkare

$$F_f = \frac{\frac{F_0}{1 + \frac{s}{\omega_1}}}{1 + \frac{F_0}{1 + \frac{s}{\omega_1}} \beta} = \frac{F_0}{1 + \frac{s}{\omega_1} + \beta F_0} = \frac{F_0}{1 + \beta F_0} \frac{1}{1 + \frac{s}{\omega_1(1 + \beta F_0)}}$$

Gränsvinkelfrekvensen har ökat till  $\omega_f = \omega_1(1 + \beta F_0)$

Maximal förstärkning minskat från  $F_0$  till  $F_0 / (1 + \beta F_0)$

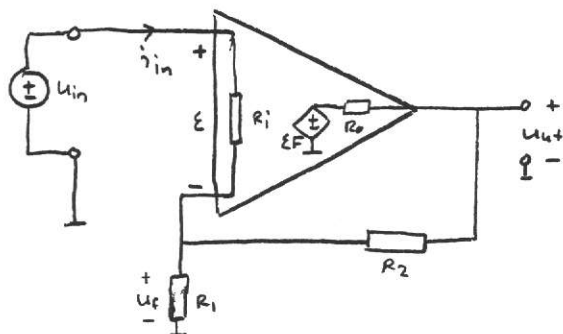


OBS! "Gain bandwidth" produkten är konstant

$$GB = \frac{F_0}{1 + \beta F_0} \cdot \omega_1(1 + \beta F_0) = F_0 \omega_1 = \omega_f$$

(anges i datablad)

## Inimpedans



$$\text{Antag } R_i \gg R_1 // (R_2 + R_o)$$

$$(R_1 + R_2) \gg R_o$$

$$\text{Inimpedans } R_{in} = \frac{U_{in}}{i_{in}}$$

kretsekv.

$$\begin{cases} i_{in} = \frac{E}{R_i} \\ U_{ut} \approx \epsilon \cdot F \\ U_{in} = E + U_f \\ U_f \approx U_{ut} \frac{R_1}{R_1 + R_2} \end{cases}$$

$$U_{in} = E + \epsilon F \frac{R_1}{R_1 + R_2}$$

$$R_{in} = \frac{E \left( 1 + F \frac{R_1}{R_1 + R_2} \right)}{\frac{E}{R_i}} = R_i \left( 1 + \frac{R_1}{R_1 + R_2} F \right) = R_i (1 + \beta F)$$

Om den återkopplade signalen återförs i serie med ingången ökar inimpedansen enligt  $R_{in} = R_i (1 + \beta F)$ . Om den återkopplade signalen återförs "parallellt" med ingången minskar inimpedansen enligt  $R'_{in} = R_i / (1 + \beta F)$ .

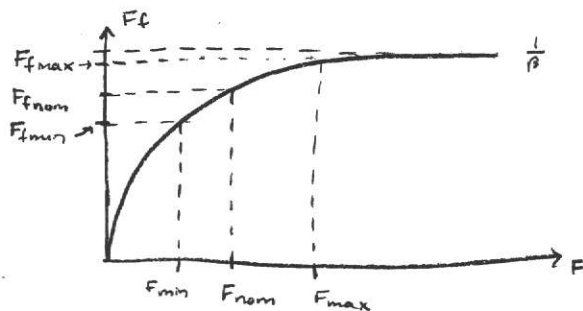
## Förbättra noggrannheten i förstärkningen

En verklig op-först. med råförstärkning  $F$  uppvisar vid serieproduktion en relativt stor spridning.

För den återkopplade förstärkarens förstärkning  $F_f$  gäller

$$F_f = \frac{F}{1 + \beta F} \rightarrow \frac{1}{\beta} \text{ om } F \rightarrow \infty$$

Bättre noggrannhet med ökat värde på  $F$ .



Derivera  $F_f$  m.a.p.  $F$

$$\frac{\partial F_f}{\partial F} = \frac{(1 + \beta F) - F\beta}{(1 + \beta F)^2} = \frac{1}{(1 + \beta F)^2} = \frac{F_f}{F} \frac{1}{F(1 + \beta F)} = \frac{F_f}{F} \cdot \frac{1}{1 + \beta F}$$

Linjärisera runt punkten  $F_{nom}$

$$\frac{\Delta F_f}{F_{nom}} = \frac{\Delta F}{F_{nom}} \cdot \frac{1}{1 + \beta F_{nom}}$$

relativ spridning i  $F_f$       rel. sprid. i  $F$       känslighetsfaktor

Om  $|1 + \beta F| \gg 1$

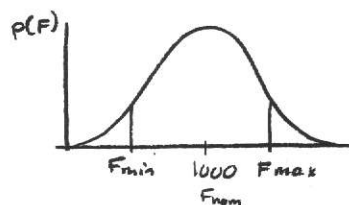
$$\left| \frac{\Delta F_f}{F_f} \right| \ll \left| \frac{\Delta F}{F} \right|$$

### Exempel

Tillverkning av op-först.

$$F_{nom} = 1000$$

spridning: 95% inom  $\pm 20\%$  av  $F_{nom}$



Hur stor blir motsvarande spridning i den återkopplade förstärkaren om känslighetsfaktorn  $D = 1 + \beta F$  väljs till 10.

$$1 + \beta F = 10 \Rightarrow \beta = \frac{10 - 1}{F} = \frac{9}{1000}$$

Utan återkoppling

$$F_{nom} = 1000 \pm 20\% \begin{cases} F_{max} = 1200 \\ F_{min} = 800 \end{cases}$$

Med återkoppling  $D = 1 + \beta F = 10$

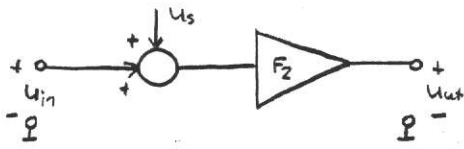
$$F_{fmax} = \frac{1200}{1 + 0,009 \cdot 1200} = 101,69$$

$$F_{fnom} = \frac{1000}{1 + 0,009 \cdot 1000} = 100$$

$$F_{fmin} = \frac{800}{1 + 0,009 \cdot 800} = 97,56$$

$$\text{spridning i } F_f = \begin{cases} +1,69\% \\ -2,44\% \end{cases}$$

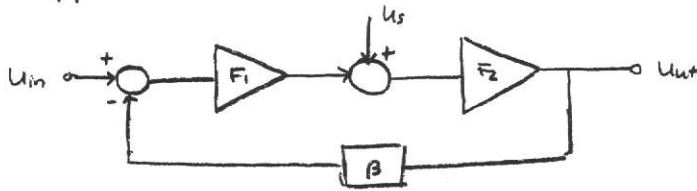
## Reducering av brus



Förstärkaren  $F_2$  genererar brus, beskrivs med modellen ovan.  
 Signal / Brus förhållande

$$\frac{S}{N} = \frac{U_{\text{ut signal}}}{U_{\text{ut störning}}} = \frac{F_2 \cdot U_{\text{in}}}{F_2 \cdot U_s} = \frac{U_{\text{in}}}{U_s}$$

- Inför ny (brusfri) förstärkare  $F_1$
- Återkoppla



Teckna  $U_{\text{ut tot}} = U_{\text{ut}}|_{U_s=0} + U_{\text{ut}}|_{U_{\text{in}}=0}$

$$U_{\text{ut tot}} = \underbrace{\frac{F_1 F_2}{1 + \beta F_1 F_2} U_{\text{in}}}_{U_{\text{ut signal}}} + \underbrace{\frac{F_2}{1 + \beta F_1 F_2} U_s}_{U_{\text{ut störning}}}$$

$$\frac{S}{N} = \frac{\frac{F_1 F_2}{1 + \beta F_1 F_2} U_{\text{in}}}{\frac{F_2}{1 + \beta F_1 F_2} U_s} = F_1 \frac{U_{\text{in}}}{U_s}$$

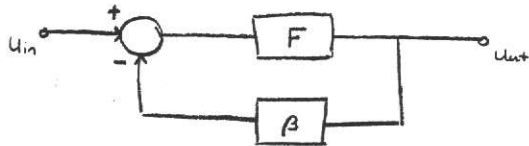
∴ Förbättring av signal / brusförhållande med faktor  $F_1$   
 Välj  $F_1 = 1 + \beta F_1 F_2$  för att behålla förstärkningsnivån

Samband mellan s-plan, frekvensplan och tidsplan som funktion av återkopplingsfaktorn  $\beta$  första, andra och tredje ordningens system.

• Första ordningens system:

$$F = \frac{F_0}{1 + \frac{s}{\omega_1}} \quad \text{råförstärkning}$$

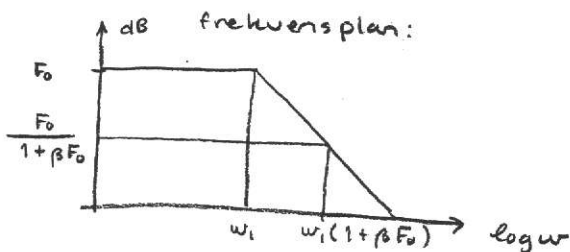
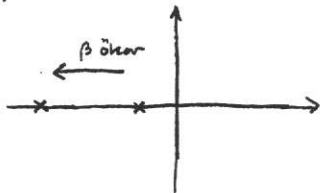
Grundmodell:



$$F_f = \frac{U_{out}}{U_{in}} = \frac{F}{1 + \beta F}$$

$$F_f = \frac{\frac{F_0}{1 + s/\omega_1}}{1 + \frac{\beta F_0}{1 + s/\omega_1}} = \frac{F_0}{1 + \beta F_0} \frac{1}{1 + \frac{s}{(\omega_1(1 + \beta F_0))}} = \frac{F_{of}}{1 + \frac{s}{\omega_{of}}}$$

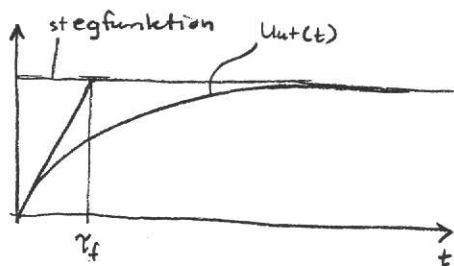
s-plan:



tidsplan:

stegsvar  $U_{out}(s) = \frac{1}{s} \cdot \frac{F_{of}}{1 + \frac{s}{\omega_f}}$

inv. transf.  $U_{out}(t) = F_{of}(1 - e^{-t \cdot \omega_f}) = F_{of}(1 - e^{-t/\tau_f})$   $\tau_f = \frac{1}{\omega_f}$



$$\omega_f = \omega_1(1 + \beta F_0)$$

$\beta$  ökar  $\Rightarrow \tau_f$  minskar  
(snabbare stegsvar)

• Andra ordningens system:

$$F = \frac{F_0}{\left(1 + \frac{s}{w_1}\right)\left(1 + \frac{s}{w_2}\right)}$$

$$F_f = \frac{F}{1 + \beta F} = \frac{w_1 w_2 (1 + \beta F_0)}{s^2 + s(w_1 + w_2) + w_1 w_2 (1 + \beta F_0)}$$

$$F_f = \frac{w_0^2 F_0}{s^2 + s 2k w_0 + w_0^2}$$

$$w_0 = \sqrt{w_1 w_2 (1 + \beta F_0)}$$

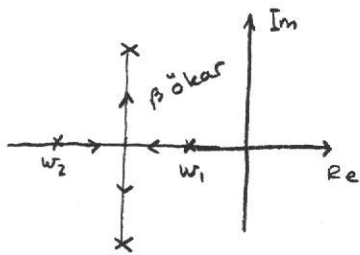
$$2k = \frac{w_1 + w_2}{w_0} = \frac{1}{Q}$$

k: dämpfaktorn

Q: Q-värde, godhetsstal

$\beta$  ökar  $\Rightarrow$   $\begin{cases} k \text{ minskar} \\ Q \text{ ökar} \end{cases}$

s-plan: (polernas placering)

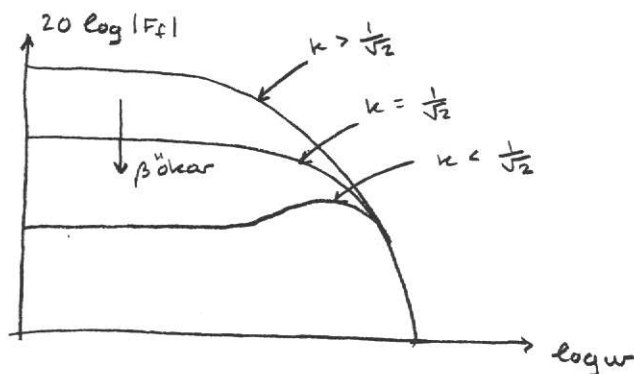


poler:  $s_{1,2} = -\frac{w_1 + w_2}{2} \pm \sqrt{\left(\frac{w_1 + w_2}{2}\right)^2 - w_1 w_2 (1 + \beta F_0)}$

OBS! Poler alltid i VHP. stabilt!

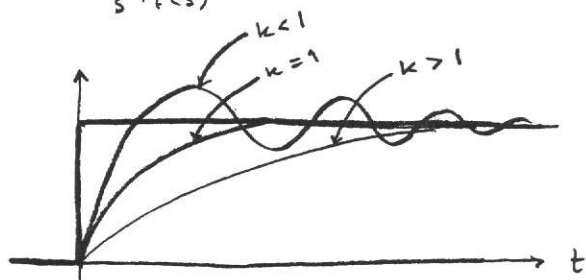
frekvensplan:

$$|F_f(j\omega)| = \frac{F_0}{1 + \beta F_0} \frac{w_0^2}{\sqrt{(w_0^2 - \omega^2)^2 - (2k w_0 \omega)^2}}$$



stegsvar i tidsplanet:

$$u_{ut} = \frac{1}{s} F_f(s)$$



$k > 1$ : översvängningsfritt  
reella poler  
(överdämpat)

$k = 1$ : kritiskt dämpat  
aperiodiska gränsvärdet  
reella poler (dubbelpol)  
max. snabbt stegsvar utan översväng

$k < 1$ : översväng i stegsvar  
komplexa poler  
(underdämpat)

• Tredje ordningens system (3 poler)

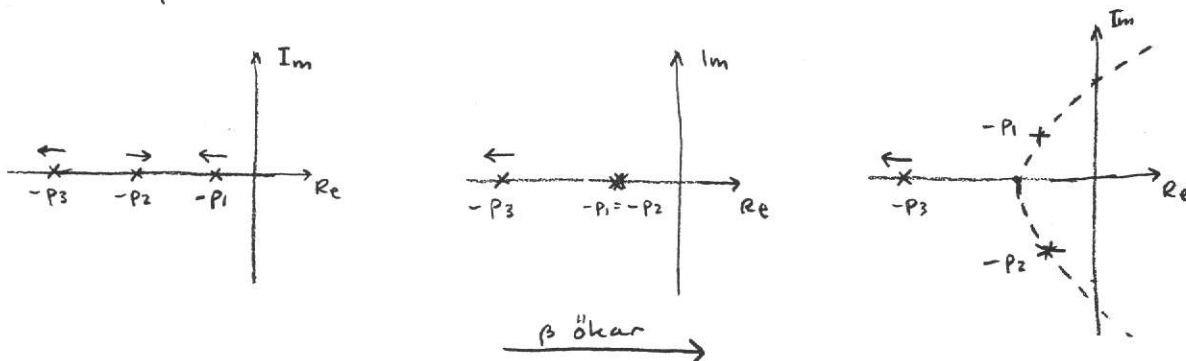
Sätt in

$$F = \frac{F_0}{\left(1 + \frac{s}{\omega_1}\right) \left(1 + \frac{s}{\omega_2}\right) \left(1 + \frac{s}{\omega_3}\right)} \quad ; \quad F_f = \frac{F}{1 + \beta F}$$

Vi får

$$F_f = \frac{F_0 \beta}{\left(1 + \frac{s}{p_1}\right) \left(1 + \frac{s}{p_2}\right) \left(1 + \frac{s}{p_3}\right)}$$

s-plan:



$-p_1$  och  $-p_2$  komplext polpar

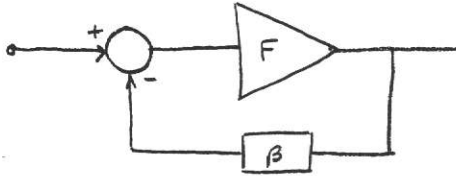
Återkopplas ett 3:e ordn syst. tillräckligt mycket kan det bli stabilt, Poler i HHP.



## Stabilitet

Et system är stabilt om impulsfunktionssvaret går mot noll då  $t \rightarrow \infty$ .  
En konsekvens av detta är att linjära system med poler i VHP är stabila.

## Slingförstärkning T



$$F_f = \frac{F}{1 + \beta F} = \frac{F}{1 - T}$$

där  $T = -\beta F$  är slingförstärkning

## Oscillatorer

För dimensionering av oscillatorer gäller  $T(j\omega) = 1$  eller  $\beta F(j\omega) = -1$

$$|T| = 1$$

$$|\beta F| = 1$$

$$\angle T = 0^\circ$$

$$\angle \beta F = -180^\circ$$

eller  $\operatorname{Re}[T] = 1$        $\operatorname{Re}[\beta F] = -1$

$$\operatorname{Im}[T] = 0$$
       $\operatorname{Im}[\beta F] = 0$

## Stabilitetsmarginaler

Vi studerar  $T(j\omega) = -\beta F(j\omega)$  för att utreda stabilitet.

### Amplitudmarginal $G_M$ :

Hur mycket kan förstärkningen öka innan vi får självsvängning vid frekvensen  $\omega_\phi$ , där  $\omega_\phi$  är vinkelfrekvensen då  $\angle \beta F = -180^\circ$

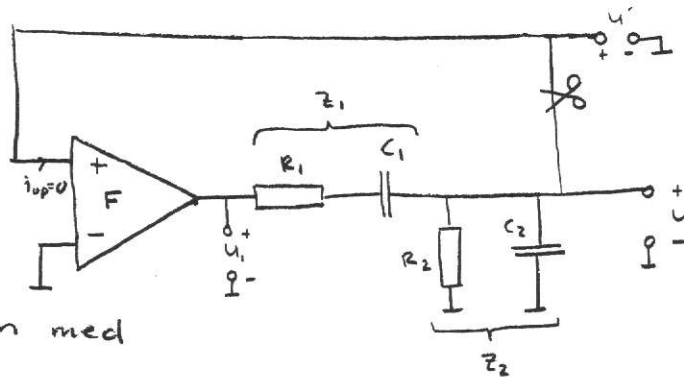
$$G_M = -20 \log |\beta F| \Big|_{\omega = \omega_\phi}$$

### Fasmarginal $\Phi_M$ :

Hur mycket kan fasvridningen öka innan vi får självsvängning vid frekvensen  $\omega_g$ , där  $\omega_g$  är vinkelfrekvensen då  $|\beta F| = |T| = 1$

$$\Phi_M = \angle \beta F \Big|_{\omega = \omega_g} + 180^\circ$$

H6



Ideal op-först. men med begr. först. F

$$R_i = \infty \Rightarrow i_{op} = 0$$

$$R_o = 0$$

Bryt upp kretsen (✂) och beräkna slingförst.

$$T = \frac{U}{U'}$$

$$Z_1 = R_1 + \frac{1}{sC_1}, \quad Z_2 = R_2 \parallel \frac{1}{sC_2} = \frac{R_2}{1 + sR_2C_2}$$

$$U_1 = U' \cdot F$$

$$U = U_1 \frac{Z_2}{Z_1 + Z_2} = U' \cdot F \frac{Z_2}{Z_1 + Z_2} = \frac{U' \cdot F \frac{R_2}{1 + sR_2C_2}}{R_1 + \frac{1}{sC_1} + \frac{R_2}{1 + sR_2C_2}}$$

ger

$$\frac{U}{U'} = \frac{F \cdot sR_2C_1}{1 + s(R_1C_1 + R_2C_2 + R_2C_1) + s^2R_1R_2C_1C_2} \quad (s = j\omega)$$

$$T(j\omega) = \frac{F \cdot j\omega R_2C_1}{1 + j\omega(R_1C_1 + R_2C_2 + R_2C_1) - \omega^2 R_1R_2C_1C_2} = 1$$

$$\because 1 - \omega^2 R_1R_2C_1C_2 = 0$$

$$\omega = \omega_0 = \frac{1}{\sqrt{R_1R_2C_1C_2}}$$

$$T(j\omega_0) = \frac{F \cdot j\omega_0 R_2C_1}{j\omega_0 (R_1C_1 + R_2C_2 + R_2C_1)} = 1$$

$$F = \frac{R_1}{R_2} + \frac{C_2}{C_1} + 1 = 10 + 10 + 1 = \underline{\underline{21}}$$

### F3 Återkopplad förstärkare

$$F_f = \frac{F(j\omega)}{1 + \beta F(j\omega)}$$

$$\text{slingförst: } T(j\omega) = -\beta F(j\omega)$$

Rent resistiv återkoppling  $\Rightarrow \beta$  ober. av  $\omega$

Samma faskurva för  $\beta F(j\omega)$  och  $F(j\omega)$

$$\text{Fasmargin: } \phi_m = \angle \beta F + 180^\circ = 45^\circ$$

$$\angle \beta F = -135^\circ \text{ då } |\beta F| = 1 \text{ eller } 0 \text{ dB}$$

Den icke återkopplade förstärkaren har en fasnivridning på  $-135^\circ$  vid  $f = f' = 200 \text{ kHz}$

$\Rightarrow \beta F(j\omega)$  har också en fasnivridning  $-135^\circ$  vid  $f = 200 \text{ kHz}$

Vi vill ha  $|\beta F| \leq 0 \text{ dB}$  vid  $f = f' = 200 \text{ kHz}$

$$|F(j2\pi f')| = 73 \text{ dB} \Rightarrow \beta = -73 \text{ dB} \hat{=} 2,24 \cdot 10^{-4} \text{ ggr} \\ (\text{max } \beta)$$

max  $\beta$

$|\beta F(j\omega)|$  kurvan ligger 73 dB under  $|F(j\omega)|$  kurvan.

$$|\beta F(j\omega)|_{\text{max}} = 105 - 73 = 32 \text{ dB} \quad (\sim 40 \text{ ggr})$$

Total maximal förstärkning

$$|F(j\omega)|_{\text{max}} = F_0$$

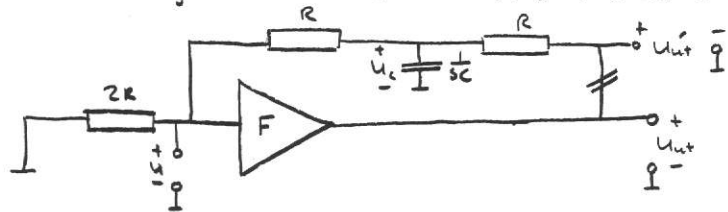
$$F_{\text{fmax}} = \frac{F_0}{1 + \beta F_0}$$

$$20 \log F_{\text{fmax}} = 20 \log F_0 - 20 \log(1 + \beta F_0) \approx 20 \log F_0 - 20 \log(\beta F_0) = 105 - 32 = 73 \text{ dB}$$

För min  $\beta$  ( $\beta = 0$ ):

$$20 \log F_{\text{fmax}} = 105 \text{ dB}$$

F6 Beräkna slingförst. T (bryt upp, nollställ ober. källor)

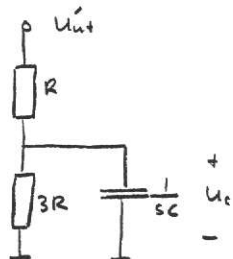


$$Z_{in} = \infty$$

$$Z_{ut} = 0$$

$$U_{ut} = u \cdot F$$

Spänningsdelning:  $u = U_c \frac{2R}{R+2R} = U_c \frac{2}{3}$



sp. deln.:  $U_c = U'_{ut} \frac{3R // \frac{1}{sC}}{3R // \frac{1}{sC} + R} = \dots = U'_{ut} \frac{3}{4 + s3RC}$

$$\Rightarrow u = \frac{2U'_{ut}}{4(1 + s \frac{3RC}{4})}$$

$$T = \frac{U_{ut}}{U_{ut}'} = \frac{F}{2(1 + s \frac{3RC}{4})} = - \frac{\frac{F_0}{2}}{(1 + \frac{s}{\omega_0})(1 + \frac{s}{\omega_1})(1 + \frac{s}{\omega_2})}$$

$$\omega_1 = 2\pi \cdot 10^3 \text{ rad/s}$$

$$\omega_2 = \omega_1 \cdot 20 \text{ rad/s}$$

$$\omega_0 = \frac{4}{3RC}$$

$$T = -\beta F$$

Vid  $\omega = \omega_c$  ska  $\phi_M = 45^\circ$  ( $\angle \beta F = -135^\circ$ ) och  $|\beta F| = 1$

$$\angle \beta F = -\arctan \frac{\omega_c}{\omega_0} - \arctan \frac{\omega_c}{\omega_1} - \arctan \frac{\omega_c}{\omega_2} = -135^\circ$$

$$|\beta F|^2 = \frac{(\frac{F_0}{2})^2}{[1 + (\frac{\omega_c}{\omega_0})^2][1 + (\frac{\omega_c}{\omega_1})^2][1 + (\frac{\omega_c}{\omega_2})^2]} = 1$$

Antag  $\omega_c = \omega_1$

$$1 \ll (\frac{\omega_c}{\omega_2})^2 \text{ och } (\frac{\omega_c}{\omega_0})^2 \gg 1$$

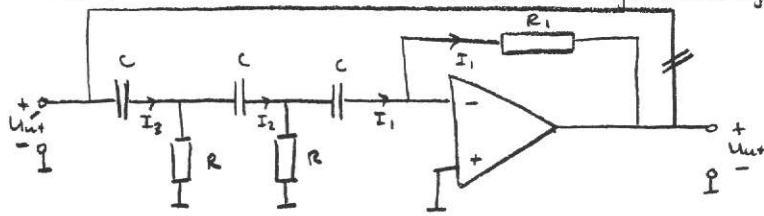
då blir  $\angle \beta F = -135^\circ$

$$1 = \frac{(\frac{F_0}{2})^2}{(\frac{\omega_c}{\omega_0})^2 \cdot 2 \cdot 1} \Rightarrow \frac{\omega_c}{\omega_0} = \frac{F_0}{2\sqrt{2}}$$

$$\frac{1}{\omega_0} = \frac{3RC}{4} = \frac{F_0}{2\sqrt{2} \cdot \omega_c} \Rightarrow C = \frac{4}{3R} \cdot \frac{F_0}{2\sqrt{2} \omega_c} = \dots = 7,5 \mu F$$

$$\omega_0 = \frac{4}{3RC} = \dots = 2\pi \cdot 0,283 \quad \because \frac{\omega_c}{\omega_0} \gg 1 \Rightarrow \text{Antagandet riktigt}$$

H1 Bestäm  $R_1$  så att oscillatorn självsvänger sinusformigt.



ideal op-först.

$$R = 1 \text{ k}\Omega$$

$$C = 4,7 \text{ nF}$$

neg. återk.  $\Rightarrow \epsilon = 0$

Bestämna slingförst.

$$\text{sätt } T = \frac{U_{ut}}{U_{in}}$$

kretsekv.:

$$U_{ut} = -I_1 R_1$$

$$\text{strömdelning: } I_1 = I_2 \frac{R}{R + \frac{1}{sC}} = \frac{I_2 \cdot sRC}{1 + sRC}$$

$$\text{mera strömdelning: } I_2 = I_3 \frac{R}{R + \frac{1}{sC} + R \parallel \frac{1}{sC}} = \dots = I_3 \frac{RC(1+sRC)sRC}{s^2 R^2 C^2 + s3RC + 1}$$

$$I_3 = \frac{U_{in}}{\frac{1}{sC} + R \parallel \left( \frac{1}{sC} + R \parallel \frac{1}{sC} \right)} = \dots =$$

$$= U_{in} \frac{sC [s^2 R^2 C^2 + 3sRC + 1]}{s^2 3R^2 C^2 + s \cdot 4RC + 1}$$

$$I_1 = \frac{sRC}{1+sRC} \cdot \frac{sRC(1+sRC)}{s^2 R^2 C^2 + 3sRC + 1} \cdot \frac{U_{in} \cdot sC [s^2 R^2 C^2 + 3sRC + 1]}{s^2 3R^2 C^2 + s \cdot 4RC + 1} = -\frac{U_{in}}{R_1}$$

$$T = \frac{U_{ut}}{U_{in}} = -\frac{s^3 R^2 R_1 C^3}{s^2 3R^2 C^2 + s \cdot 4RC + 1}$$

För sinusformig svängning

$$T(j\omega) = 1$$

$$s = j\omega$$

$$\frac{j\omega^3 R^2 R_1 C^3}{1 - \omega^2 3R^2 C^2 + j\omega 4RC} = 1$$

$$1 - \omega^2 3R^2 C^2 = 0$$

$$\omega = \omega_0 = \frac{1}{\sqrt{3} RC}$$

$$T(j\omega_0) = \frac{\omega_0^3 R^2 R_1 C^3}{\omega_0 4RC} = 1$$

$$R_1 = \frac{4}{\omega_0^2 R C^2} = \dots = 12R$$

$$R = 1 \text{ k}\Omega$$

$$R_1 = 12 \text{ k}\Omega$$

$$\omega_0 = \frac{1}{\sqrt{3} RC}$$

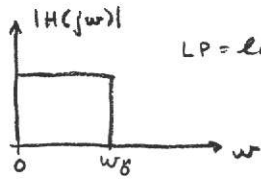
$$\frac{\omega_0}{2\pi} = f_0 = 19,5 \text{ kHz}$$

# Aktiva RC-filter

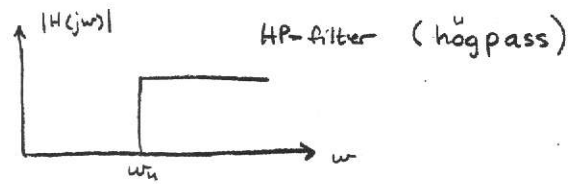
Frekvensselektiva förstärkare uppbyggda med

- \* Resistanser
- \* Kondensatorer
- \* Op-förstärkare

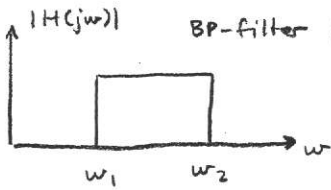
Principiella filterkaraktärstikor



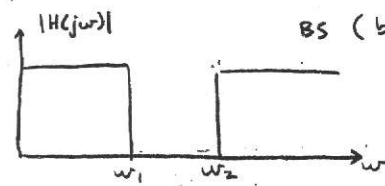
LP = lågpass



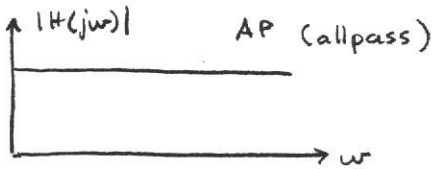
HP-filter (högpass)



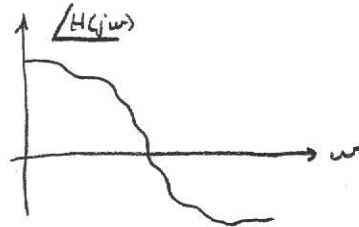
BP-filter (bandpass)



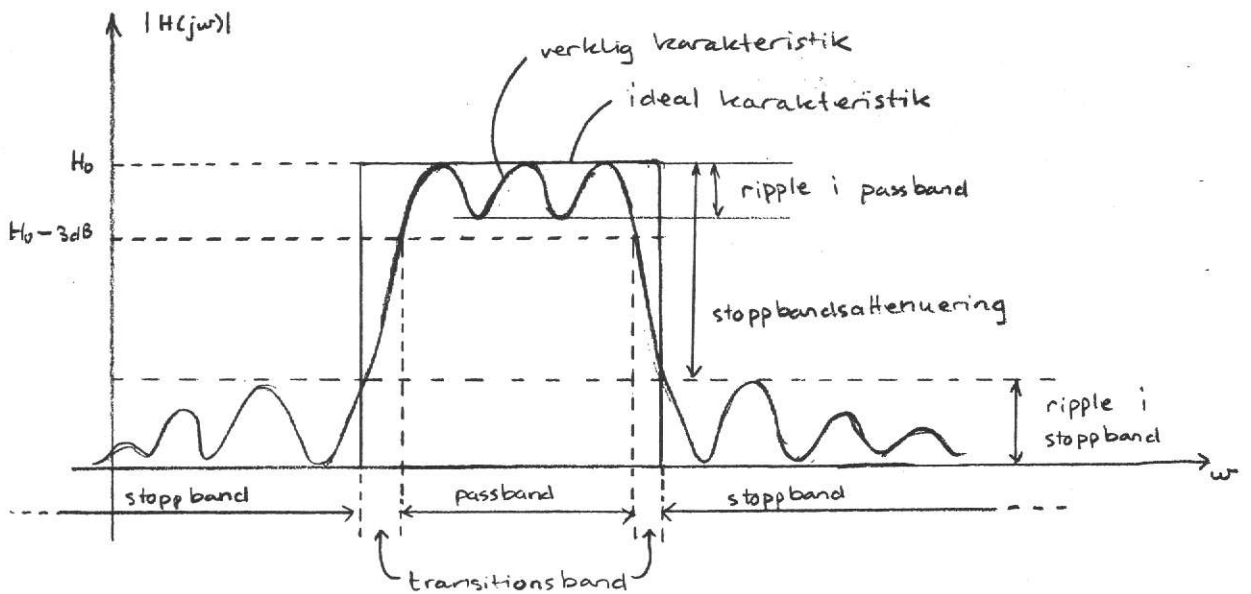
BS (bandspär)



AP (allpass)



Exempel på verklig frekvenskaraktärstik (BP)



När man konstruerar ett verkligt filter börjar man med att teckna överföringsfunktionen.

$$H(s) = \frac{A(s)}{B(s)} = \frac{a_M s^M + a_{M-1} s^{M-1} + \dots + a_0}{b_N s^N + b_{N-1} s^{N-1} + \dots + b_0} = \frac{a_M (s-z_1)(s-z_2)\dots(s-z_M)}{b_N (s-p_1)(s-p_2)\dots(s-p_N)}$$

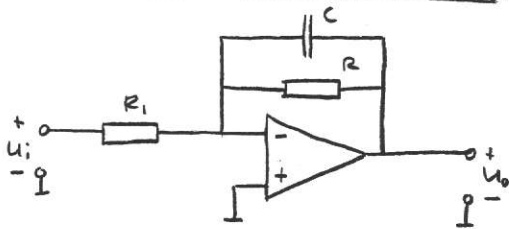
$M \leq N$ ;  $a_i, b_i$  reella

poler, nollställen: reella eller komplexa (konjugatpar)

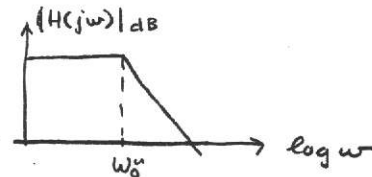
Första ordningens filter:  $H(s) = \frac{a_1 s + a_0}{b_1 s + b_0}$

LP-filter:  $a_1 = 0$  ( $b_1 = 1$ ) och vi får  $H(s) = \frac{a_0}{s + b_0}$

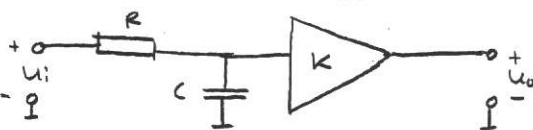
Ex 1 (inverterande LP-filter)



$$H(s) = \frac{U_o(s)}{U_i(s)} = - \frac{1}{R_C} \frac{1}{s + \frac{1}{R_C}}$$

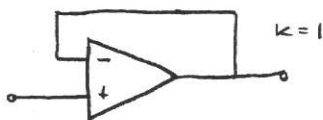


Ex 2 (icke-inv. LP-filter)

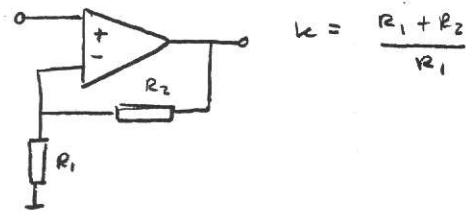


$$H(s) = \frac{U_o}{U_i} = k \frac{\frac{1}{R_C}}{s + \frac{1}{R_C}}$$

där k kan realiseras som

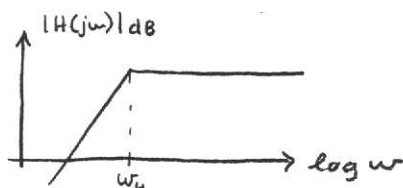


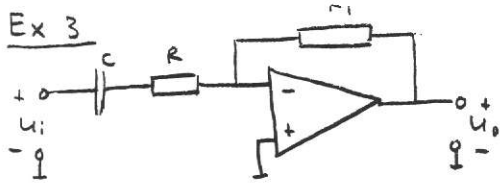
eller



HP-filter:  $a_0 = 0$  ( $b_1 = 1$ )

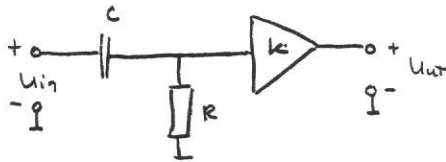
$$H(s) = \frac{a_1 s}{s + b_0}$$





$$H(s) = -\frac{R_1}{R} \frac{s}{s + \frac{1}{RC}}$$

Ex 4 (icke inv.)

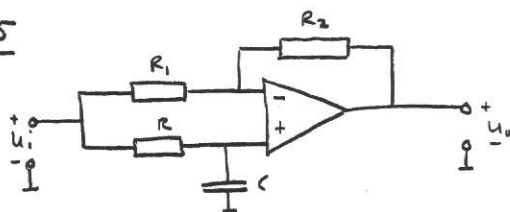


$$H(s) = k \frac{s}{s + \frac{1}{RC}}$$

Allpass (AP)  $a_1 = b_1 = 1$ ,  $a_0 = -a$ ,  $b_0 = a$

$$H(s) = \frac{s-a}{s+a}$$

Ex 5



$$H(s) = -\frac{R_2}{R_1} \frac{s - \frac{R_1}{R_2 R_2}}{s + \frac{1}{RC}}$$

Andra ordningens filter

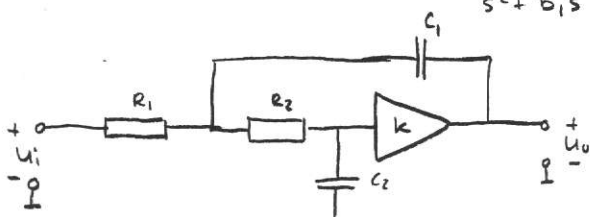
2:a ordningens länkar kan generellt tecknas som

$$H(s) = \frac{a_2 s^2 + a_1 s + a_0}{b_2 s^2 + b_1 s + b_0}$$

1. Lågpass  $a_2 = a_1 = 0$
2. Bandpass  $a_2 = a_0 = 0$
3. Högpas  $a_1 = a_0 = 0$
4. Bandspärr  $a_1 = 0$
5. Allpass

$$H(s) = a_2 \frac{s^2 - b_1 s + b_0}{s^2 + b_1 s + b_0}$$

LP-filter  $H(s) = \frac{a_0}{s^2 + b_1 s + b_0}$

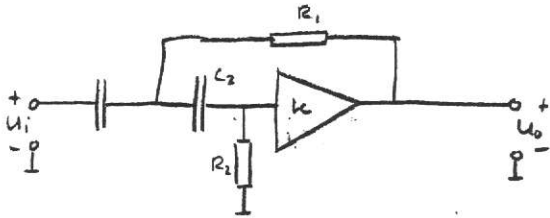


$$H(s) = \frac{u_o}{u_i} = \frac{k}{R_1 R_2 C_1 C_2} \frac{1}{s^2 + s \left( \frac{1}{R_1 C_1} + \frac{1}{R_2 C_1} + \frac{1-k}{R_2 C_2} \right) + \frac{1}{R_1 R_2 C_1 C_2}}$$



### HP-filter

$$H(s) = \frac{ks^2}{s^2 + b_1s + b_0}$$



$$\frac{U_o}{U_i} = \frac{ks^2}{s^2 + s \left( \frac{1}{R_2 C_2} + \frac{1}{R_2 C_1} + \frac{1-k}{R_1 C_1} \right) + \frac{1}{R_1 R_2 C_1 C_2}}$$

### BP-filter

Allmänt:  $H(s) = \frac{a_1 s}{s^2 + b_1 s + b_0} = \frac{As}{s^2 + Bs + \omega_0^2}$

Belopp:  $|H(j\omega)| = \frac{\omega A}{\sqrt{(\omega_0^2 - \omega^2)^2 + (\omega B)^2}} = \frac{A/B}{\sqrt{1 + \frac{1}{(\omega B)^2} (\omega_0^2 - \omega^2)^2}}$

Egenskaper:

- $|H(j\omega)|_{\max} = \frac{A}{B}$  vid  $\omega = \omega_0$
- Centerfrekvens:  $\omega = \omega_0$
- Bandbredd  $\omega_3 - \omega_1$ :

$$|H(j\omega)|_{\omega = \omega_{3dB}} = \frac{A/B}{\sqrt{2}}$$

$$\frac{1}{(\omega B)^2} (\omega_0^2 - \omega^2)^2 = \pm 1$$

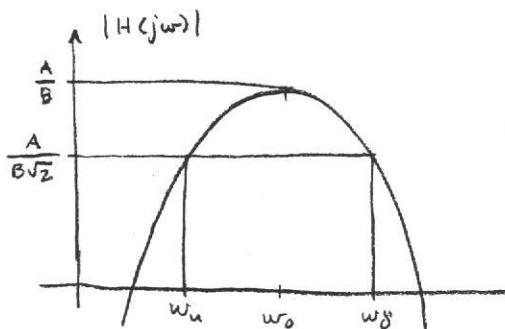
TVå andragradskv.  $\Rightarrow$  4 lösningar

$$\omega_{1,2} = \frac{B}{2} (\pm) \sqrt{\left(\frac{B}{2}\right)^2 + \omega_0^2}$$

$$\omega_{3,4} = -\frac{B}{2} (\pm) \sqrt{\left(\frac{B}{2}\right)^2 + \omega_0^2}$$

Krav:  $\omega > 0$

$B > 0$

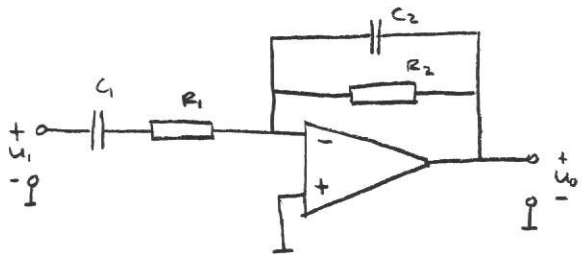


$$\omega_1 = \omega_1$$

$$\omega_3 = \omega_3$$

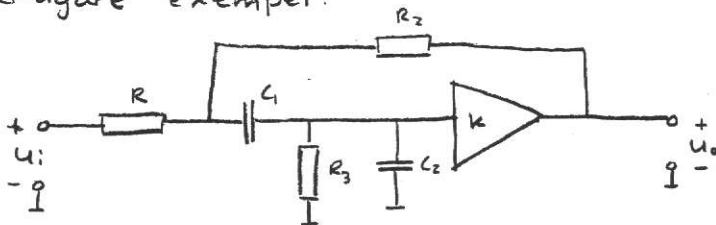
$$\text{Bandbredd} = \omega_3 - \omega_1 = \frac{B}{2} - \left(-\frac{B}{2}\right) = B$$

Exempel på realisering (inverterande BP-filter)



$$\frac{U_o}{U_i} = \frac{-sR_1C_2}{s^2 + s\left(\frac{1}{R_1C_1} + \frac{1}{R_2C_2}\right) + \frac{1}{R_1R_2C_1C_2}}$$

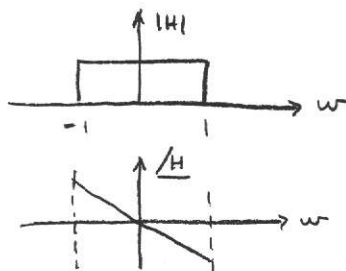
Ytterligare exempel:



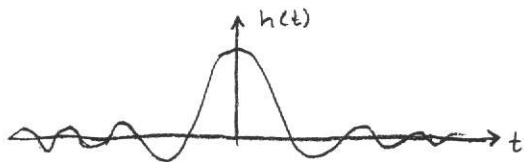
### Filterfunktioner

Approximationer

idealt LP-filter



Ej realiserbart  $\Rightarrow$  ger icke-kausalt impulsfunktions svar



Approximationer (de vanligaste)

- Butterworth  $|H(j\omega)|$  Maximalt slät  
Monotont avtagande för stigande  $\omega$
- Chebyshev  $|H(j\omega)|$  Ripple i passband,  
monotont avtagande spärrband (transitionsband  
minskear)
- Bessel Linjär fas eftersträvas

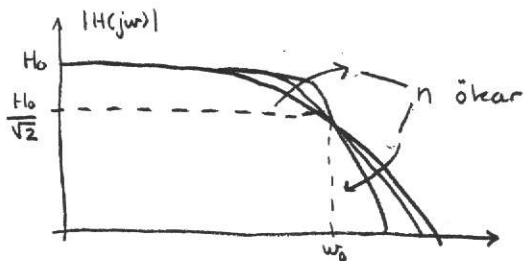
Butterworth (BW) karakteristik (approx. till idealt LP)

$$H(s) = \frac{H_0}{B(s)}, \text{ där } B(s) \text{ är Butterworthpolynomet.}$$

$$|B(j\omega)| = \sqrt{1 + \left(\frac{\omega}{\omega_0}\right)^{2n}}, \text{ där } n \text{ är ordningen.}$$

Egenskaper:

- $|H(j\omega)|_{\omega \rightarrow 0} = H_0$  ober. av  $n$
- $|H(j\omega)|_{\omega = \omega_0} = \frac{H_0}{\sqrt{2}}$  ober. av  $n$

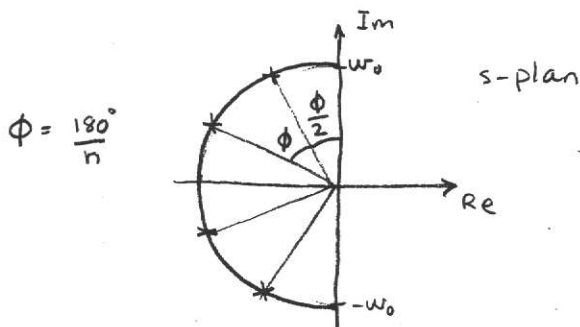


$$n \rightarrow \infty \quad \left. \begin{array}{l} \omega < \omega_0 : |H(j\omega)| = H_0 \\ \omega > \omega_0 : |H(j\omega)| = 0 \end{array} \right\} \text{idealt LP}$$

- $|H(j\omega)|$  är monotont avtagande (inget ripple)

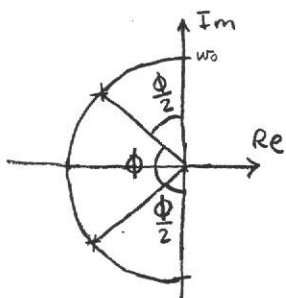
BW-karakteristiken är definierad av att beloppsfunktionen är maximalt slät, dvs  $\frac{d|H(j\omega)|}{d\omega} = \dots = \frac{d^{n-1}|H(j\omega)|}{d\omega^{n-1}} = 0$

- Polerna till  $H(s)$  är placerade på en halvcirkel med radien  $\omega_0$ .



Exempel  $n=2$

$$H(s) = \frac{H_0}{s^2 + 2k\omega_0 s + \omega_0^2} = \frac{H_0}{(s-s_1)(s-s_2)}$$



$$\phi = \frac{180^\circ}{2} = 90^\circ$$

$$s_{1,2} = -k\omega_0 \pm \omega_0 \sqrt{k^2 - 1}$$

$$s_{1,2} = -\frac{\omega_0}{\sqrt{2}} \pm j \frac{\omega_0}{\sqrt{2}}$$

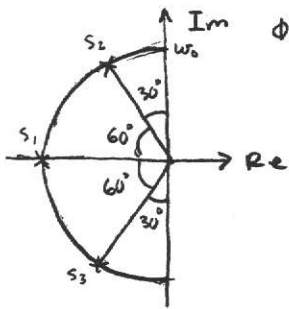
$$k = \frac{1}{\sqrt{2}}$$

För ett 2:a ordn. BW-filter är  $\omega_0$  = övre gränsvinkelfrekvensen

OBS! Endast i BW-fallet

Exempel  $n=3$

$$H(s) = \frac{r_0}{(s-s_1)(s-s_2)(s-s_3)}$$



$$\phi = \frac{180^\circ}{3} = 60^\circ$$

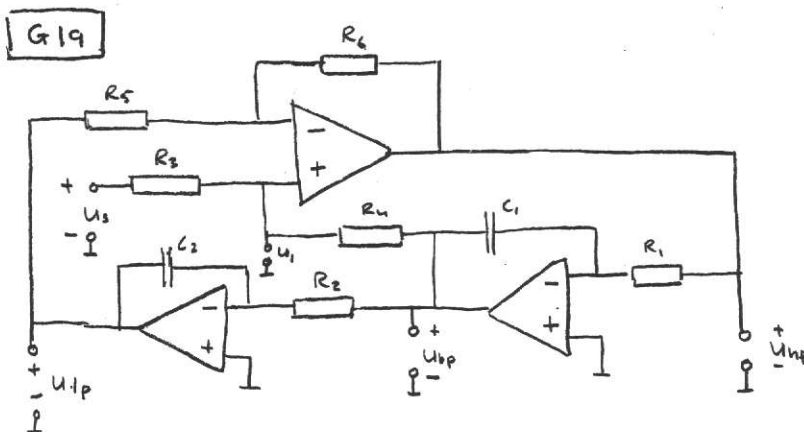
$$s_1 = -w_0$$

$$s_{2,3} = -\frac{w_0}{2} \pm j\frac{\sqrt{3}}{2}w_0$$

Realiseras lämpligen genom en kaskadkoppling av en 1:a och en 2:a ordn. länk

Ett bekvämt sätt att realisera godtyckliga rationella överföringsfunktioner är att kaskadkoppla första och andra ordningens filter.

OBS! Varje länk måste ha hög inimpedans och låg utimpedans = får ej belasta varandra



$$\frac{U_s - U_1}{R_3} + \frac{U_{hp} - U_1}{R_4} = 0 \Rightarrow U_1 = \frac{U_s R_4 + U_{hp} R_3}{R_3 + R_4}$$

$$\frac{U_{ip} - U_1}{R_5} + \frac{U_{bp} - U_1}{R_6} = 0 \Rightarrow U_1 = \frac{U_{ip} R_6 + U_{bp} R_5}{R_5 + R_6}$$

$$\frac{U_{hp}}{R_1} + \frac{U_{bp}}{1/sC_1} = 0 \Rightarrow \frac{U_{bp}}{U_{hp}} = -\frac{1}{sR_1C_1}$$

$$\frac{U_{ip}}{U_{bp}} = -\frac{1}{sR_2C_2}$$

$$\frac{U_{ip}}{U_{hp}} = \frac{1}{s^2 R_1 R_2 C_1 C_2}$$

Sätt " $U_1 = U_1$ " och eliminera  $U_{hp}$  och  $U_{bp}$

Vi får

$$\frac{U_s R_4 - U_{ip} s R_2 R_3 C_2}{R_3 + R_4} = \frac{U_{ip} R_6 + U_{ip} s^2 R_1 R_2 R_5 C_1 C_2}{R_5 + R_6}$$

forts →

$$\frac{U_{ip}}{U_s} = \frac{\frac{R_5 + R_6}{R_3 + R_4} \cdot \frac{R_3}{R_1 R_2 R_5 C_1 C_2}}{s^2 + s \frac{R_5 + R_6}{R_3 + R_4} \cdot \frac{R_3}{R_1 R_2 R_5 C_1} + \frac{R_6}{R_1 R_2 R_5 C_1 C_2}}$$

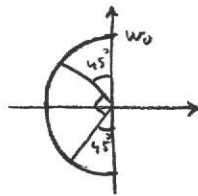
$$R = R_1 = R_2, \quad C = C_1 = C_2, \quad R_3 = R_5 = R_6$$

$$\frac{U_{ip}}{U_s} = \frac{\frac{2R_3}{R_3 + R_4} \cdot \frac{R_4}{R^2 R_3 C^2}}{s^2 + s \frac{2R_3}{R_3 + R_4} \frac{1}{RC} + \frac{1}{(RC)^2}} = \frac{K}{s^2 + 2\alpha s\omega_0 + \omega_0^2}$$

$$\left. \begin{aligned} 2\alpha\omega_0 &= \frac{2R_3}{R_3 + R_4} \\ \omega_0^2 &= \frac{1}{(RC)^2} \end{aligned} \right\} \begin{aligned} \alpha &= \frac{R_3}{R_3 + R_4} \\ \omega_0 &= \frac{1}{RC} \end{aligned}$$

2:a ordn. BW-Filter

$$\phi = \frac{180^\circ}{2} = 90^\circ$$



poler:

$$s_{1,2} = -\omega_0 (\alpha \pm j\sqrt{1-\alpha^2})$$

$$s_{1,2} = -\omega_0 \left( \frac{1}{\sqrt{2}} \pm j\frac{1}{\sqrt{2}} \right)$$

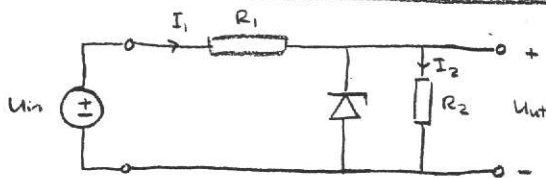
$$\alpha = \frac{1}{\sqrt{2}}$$

Bandbredd  $\omega_0 = 2\pi \cdot 100$

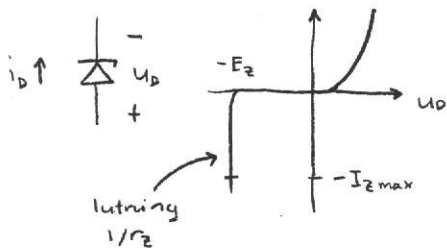
$$R = \frac{1}{\omega_0 C} = \dots = 15,9 \text{ k}\Omega$$

$$R_4 = R_3 \left( \frac{1}{\alpha} - 1 \right) = R_3 (\sqrt{2} - 1) = 4,1 \text{ k}\Omega$$

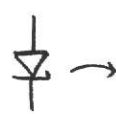
B10



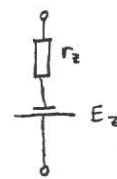
Krav:  $U_{ut} = E_z$   
 $I_z \leq 60 \text{ mA}$



Ekv. schema ( $U_0 < 0$ )



Backriktning



Zenerområde

Gränsen för att  $U_{ut} < E_z$  ges då  $I_z$  precis blir noll.

$$U_{ut} = U_{in} \frac{R_2}{R_1 + R_2} = E_z$$

$$U_{in} = E_z \frac{R_1 + R_2}{R_2} = 8,58 \text{ V} \quad (I_z = 0, U_{ut} = E_z)$$

Låt  $U_{in} \geq 8,6 \text{ V}$

forts →

$$I_{2\max} = 60\text{mA}$$

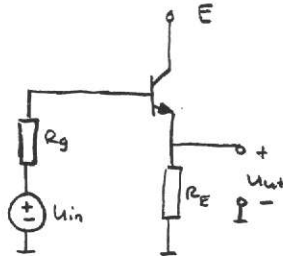
$$I_1 = I_2 + I_2 = I_2 + \frac{E_2}{R_2}$$

$$I_{1\max} = I_{2\max} + \underbrace{\frac{E_2}{R_2}}_{\text{konst.}}$$

$$U_{in\max} = R_1 \cdot I_{1\max} + E_2 = R_1 \left( I_{2\max} + \frac{E_2}{R_2} \right) + E_2 = \dots = 17,58\text{V} \approx 17,5\text{V}$$

$$\therefore 8,65 U_{in} \leq 17,5\text{V}$$

D3



Transistor BC167B

Arbetspunkt  $I_c = 1\text{mA}$

$U_{ce} = 10\text{V}$

Beräkna  $R_{in}$  och  $R_{ut}$  (småsignalberäkningar)

Ur datablad fås vid  $I_c = 2\text{mA}$ ,  $U_{ce} = 5\text{V}$

$$h_{11} = 4,5\text{ k}\Omega$$

$$h_{12} = 2 \cdot 10^{-4}$$

$$h_{21} = 330$$

$$h_{22} = 30\text{ }\mu\text{S}$$

Korr. för  $I_c \approx 1\text{mA}$

$$H_{11} = 1,8$$

$$H_{12} = 1,4$$

$$H_{21} = 0,93$$

$$H_{22} = 0,63$$

Korr. för  $U_{ce} = 10\text{V}$

$$H_{11} = 1,1$$

$$H_{12} = 0,92$$

$$H_{21} = 1,1$$

$$H_{22} = 0,75$$

Vid  $I_c = 1\text{mA}$ ,  $U_{ce} = 10\text{V}$

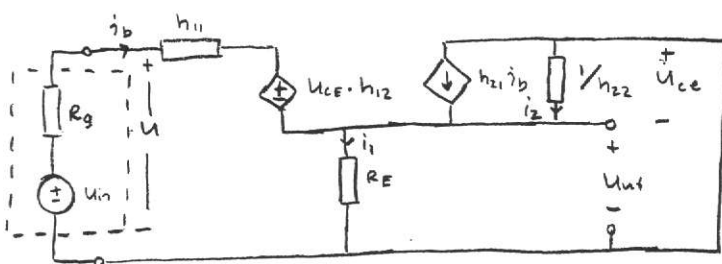
$$h_{11} = 4,5 \cdot 1,8 \cdot 1,1 = 8,9\text{ k}\Omega$$

$$h_{12} = 2 \cdot 10^{-4} \cdot 1,4 \cdot 0,92 = 2,6 \cdot 10^{-4}$$

$$h_{21} = 330 \cdot 0,93 \cdot 1,1 = 338$$

$$h_{22} = 30 \cdot 0,63 \cdot 0,75 = 14\text{ }\mu\text{S}$$

Småsignalschema



$$R_{in} = \frac{U}{i_{in}} = \frac{U}{i_b}$$

forts →

Kretsekv :

$$U = i_b h_{11} + U_{ce} h_{12} + i_1 R_E$$

$$i_1 R_E + \frac{i_2}{h_{22}} = 0 \Rightarrow i_2 = -h_{22} i_1 R_E$$

$$i_1 = i_b (1+h_{21}) + i_2 = i_b (1+h_{21}) - h_{22} i_1 R_E$$

$$\Rightarrow i_1 = \frac{i_b (1+h_{21})}{1 + R_E h_{22}}$$

$$U_{ce} + U_{ut} = 0 \Rightarrow U_{ce} = -U_{ut} = -i_1 R_E$$

$$U = i_b h_{11} - i_1 h_{12} R_E + i_1 R_E = i_b h_{11} + i_1 R_E (1 - h_{12}) =$$

$$= i_b h_{11} + i_b \frac{R_E (1-h_{12})(1+h_{21})}{1 + R_E h_{22}}$$

$$R_{in} = \frac{U}{i_b} = h_{11} + \frac{R_E (1-h_{12})(1+h_{21})}{1 + R_E h_{22}} = \dots = 409 \text{ k}\Omega$$

utimpedans :

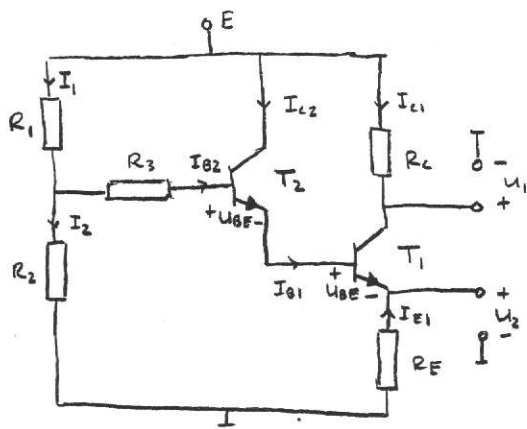
Nollställ oberoende källor ( $U_{in} = 0$ )

Lägg sp. på utgången, beräkna  $R_{ut} = \frac{U_{ut}}{i_{ut}}$

$$\left\{ \begin{array}{l} i_{ut} = i_1 - i_b (1+h_{21}) - i_2 \\ i_b (h_{11} + R_g) + h_{12} U_{ce} + R_E i_1 = 0 \\ U_{ce} = -i_1 R_E \\ i_2 \cdot \frac{1}{h_{22}} + i_1 R_E = 0 \end{array} \right. \Rightarrow i_b = -i_1 R_E \frac{1-h_{12}}{h_{11} + R_g}$$
$$\Rightarrow i_2 = -i_1 R_E h_{22}$$

$$R_{ut} = \frac{R_E}{1 + R_E h_{22} + \frac{R_E}{h_{11} + R_g} (1-h_{21})(1-h_{12})} = \dots = 29 \Omega$$

C6



$$U_{BE} = 0,7 \text{ V}$$

$$\beta_1 = 100$$

$$\beta_2 = 50$$

Kretsekv.

$$\begin{cases} R_2 I_2 = R_3 I_{02} + 2 U_{BE} - I_{E1} R_E \\ -I_{E1} = I_{01} (1 + \beta_1) = I_{02} (1 + \beta_2) (1 + \beta_1) \end{cases}$$

$$R_2 I_2 = I_{02} [R_3 + R_E (1 + \beta_2) (1 + \beta_1)] + 2 U_{BE}$$

$$E = R_1 I_1 + R_2 I_2 = R_1 (I_2 + I_{02}) + R_2 I_2 = I_2 (R_1 + R_2) + R_1 I_{02}$$

$$I_2 = \frac{E - I_{02} R_1}{R_1 + R_2}$$

$$\frac{R_2 E}{R_1 + R_2} = I_{02} \left[ R_3 + R_E (1 + \beta_2) (1 + \beta_1) + \frac{R_1 R_2}{R_1 + R_2} \right] + 2 U_{BE}$$

$$I_{02} = \frac{\frac{E R_2}{R_1 + R_2} - 2 U_{BE}}{R_3 + R_E (1 + \beta_2) (1 + \beta_1) + \frac{R_1 R_2}{R_1 + R_2}} = \dots = 1,94 \mu\text{A}$$

$$I_{02} = \beta_2 I_{02} = 96,8 \mu\text{A}$$

$$I_{01} = I_{02} + I_{02} = \dots = 98,8 \mu\text{A}$$

$$I_{01} = \beta_1 I_{01} = \dots = 9,88 \text{ mA}$$

$$I_{E1} = -I_{01} - I_{01} = -9,92 \text{ mA}$$

$$I_2 = \dots = 0,259 \text{ mA}$$

$$I_1 = I_2 + I_{02} = 0,261 \text{ mA}$$

$$U_1 = E - I_{02} R_4 = \dots = 14,1 \text{ V}$$

$$U_2 = -I_{E1} R_E = \dots = 1,0 \text{ V}$$